UNIVERSIDADE FEDERAL DA PARAÍBA CENTRO DE CIÊNCIAS DA SAÚDE PROGRAMA DE PÓS-GRADUAÇÃO EM PRODUTOS NATURAIS E SINTÉTICOS BIOATIVOS

JULIANA DA NÓBREGA CARREIRO

AÇÃO TOCOLÍTICA DE 3,6-DIMETIL ÉTER GALETINA, FLAVONOIDE ISOLADO

DE *Piptadenia stipulacea* (BENTH.) DUCKE, ENVOLVE CANAIS PARA

POTÁSSIO EM ÚTERO DE RATA

João Pessoa - PB 2012

JULIANA DA NÓBREGA CARREIRO

AÇÃO TOCOLÍTICA DE 3,6-DIMETIL ÉTER GALETINA, FLAVONOIDE ISOLADO DE *Piptadenia stipulacea* (BENTH.) DUCKE, ENVOLVE CANAIS PARA POTÁSSIO EM ÚTERO DE RATA

Dissertação apresentada ao Programa de Pós-Graduação em Produtos Naturais e Sintéticos Bioativos do Centro de Ciências da Saúde da Universidade Federal da Paraíba, como parte dos requisitos para obtenção do título de MESTRE EM PRODUTOS NATURAIS E SINTÉTICOS BIOATIVOS. Área de Concentração: FARMACOLOGIA

ORIENTADORA: Profa. Dra. Bagnólia Araújo da Silva

João Pessoa - PB 2012

C314a Carreiro, Juliana da Nóbrega.

Ação tocolítica de 3,6-dimetil éter galetina, flavonóide isolado de Piptadenia stipulacea (Benth.) Ducke, envolve canais para potássio em útero de rata/ Juliana da Nóbrega Carreiro. - - João Pessoa: [s.n.], 2012.

111f. : il.

Orientadora: Bagnólia Araújo da Silva. Dissertação(Mestrado) - UFPB/CCS/LTF.

1. Produtos naturais. 2. FGAL. 3. Canais de potássio. 4. Ação tocolítica. 5. Útero de rata.

UFPB/BC CDU: 547.9(043)

JULIANA DA NÓBREGA CARREIRO

Ação tocolítica de 3,6-dimetil éter galetina, flavonoide isolado de *Piptadenia* stipulacea (Benth.) Ducke, envolve canais para potássio em útero de rata

Dissertação apresentada ao Programa de Pós-Graduação em Produtos Naturais e Sintéticos Bioativos do Centro de Ciências da Saúde da Universidade Federal da Paraíba, como parte dos requisitos para obtenção do título de MESTRE EM PRODUTOS NATURAIS E SINTÉTICOS BIOATIVOS. Área de Concentração: FARMACOLOGIA

Aprovada em / /

BANCA DE EXAMINADORA

Profa. Dra. Bagnólia Araújo da Silva (Universidade Federal da Paraíba) Orientadora

Prof. Dr. Eduardo de Jesus Oliveira (Universidade Federal da Paraíba) Examinador Interno

Prof. Dra. Liana Clébia Soares Lima de Morais (Universidade Federal da Paraíba) Examinadora Externa

"O fardo é proporcional às forças, como a recompensa será proporcional à resignação e à coragem"

(Allan Kardec)

Dedicatória

Aos meus pais,

Joaquim Carreiro Neto e Maria da Conceição da N. Carreiro, que sempre estiveram junto, que fizeram de suas vidas exemplos a serem seguidos. Que fizeram de tudo para me proporcionar uma formação digna, por me ensinarem as mais importante lições ... lições essas mais valiosas que diplomas ou títulos. Pelo amor, lealdade e amizade incondicionais.

Aos meus irmãos,

Artur e Gabriela da N. Carreiro pelos sorrisos e momentos vividos juntos. Pela cumplicidade e por acreditarem na minha capacidade, sempre.

A minha querida avó,

Mariza Medeiros, pelos ouvidos incansáveis, abraços sem fim, alegria inexplicável. Por me ensinar que a vida não nos entrega problemas, nós que os inventamos. Saudades! (*In memoriam*)

Ao meu querido avô,

Manoel Gomes, a criatura mais sábia que conheci. Pelas orações, pelos ensinamentos valiosos, pelo orgulho que sinto em ser sua neta mais velha, por acompanhar minha caminhada desde sempre e para sempre.

Ao meu querido tio,

Paulo Romero, meu maior exemplo, meu maior amor e minha maior saudade. Por nunca ter deixado de me guardar e guiar. (*In memoriam*)

Ao meu companheiro,

Alan Pessoa de Queiroz, pela lealdade, companheirismo e amor. Por ter acreditado sempre. Por me levantar nos momentos de fraqueza. Por ser o motivo dos meus sorrisos.

Agradecimentos

AGRADECIMENTOS

A Deus, pela força e serenidade, pela paciência e sabedoria no discernimento das minhas atitudes e caminhos escolhidos por mim

A minha orientadora, Profa. Dra. Bagnólia Araújo da Silva. Pelos ensinamentos e orientação. Pelo exemplo de conduta profissional, dedicação e por abraçar de forma tão intensa o propósito de ensinar.

A Profa. Dra. Bárbara Viviana de Oliveira Santos e sua aluna doutoranda Daysianne P. Lira pelo isolamento e fornecimento da substância, objeto de estudo neste trabalho.

Agradeço de maneira especial à Profa. Dra. Rosimeire Ferreira dos Santos. Pelo exemplo de profissional e principalmente de ser humano que sempre foi. Por todos os ensinamentos e conselhos. Pela amizade incondicional, por principalmente sempre ter acreditado na minha capacidade.

Agradeço de maneira especial também à Profa. Dra. Fabiana de A. Cavalcante. Pelas últimas correções feitas, pela disponibilidade e apoio na minha iniciação científica e nesta reta final.

Ao meu grande AMIGO Rafael de Almeida Travassos. Pelas doses diárias de estímulo, de alegria, de coragem e muitas vezes de resignação. Pelos sorrisos e lágrimas compartilhadas. Por ser não só amigo, mas parceiro em todos os momentos. Amizade essa que levarei por toda a vida.

Ao meu amigo Fernando Ramos Queiroga. Que foi de imensa importância nessa última etapa. Obrigada pela paciência e disponibilidade em sempre ajudar.

A todos os colegas e amigos que estão ou passaram pelo Laboratório de Farmacologia Funcional Prof. George Thomas, entre eles, Aline de F. Brito, Ana Carolina de C. Correia, Anne Kaliery de A. Alves, Cibério L. Macêdo, Cybelle de A. N. Silva, Fabiana de A. Cavalcante, Fabio de S. Monteiro, Fabrício de M. Garcia,

Joelmir L. V. da Silva, Maria da Conceição C. Silva, Massilon S. M. Santos Júnior, Núbia M. Sousa, Polyana C. B. Silva, Tamyris F. Ferreira, Vicente Carlos O. Costa, em especial a lara L. L. Souza, Luiz Henrique C. Vasconcelos, Joedna C. Pereira, Italo R. R. Martins Gislaine A. de Oliveira, Rafael de A. Travassos, Fernando R. Queiroga e Ana Caroline de L. Silva pela força na reta final deste trabalho, pela amizade e bons momentos vividos no laboratório.

A todos os colegas e amigos da turma do Mestrado 2010, do Programa de Pós-Graduação em Produtos Naturais e Sintéticos Bioativos pelos momentos vividos juntos.

Aos meus professores do Programa de graduação e Pós-Graduação. Muito obrigada pelos ensinamentos e dedicação.

Ao então Laboratório de Tecnologia Farmacêutica "Prof. Delby Fernandes de Medeiros" (LTF/UFPB) hoje Centro de Biotecnologia (CBiotec / UFPB) pelo apoio Institucional.

A José Crispim Duarte, pela sua amizade e por sempre está pronto a nos auxiliar nos mais variados problemas.

A Luís C. Silva e Adriano S. Cordeiro pela colaboração no Biotério e no laboratório, por serem prestativos e dedicados aos trabalhos do CBiotec.

À Coordenação da Pós-Graduação em Produtos Naturais e Sintéticos Bioativos em nome dos Professores Dra. Maria de Fátima Agra e Dr. Josean Fechine Tavares por todo empenho e competência.

A Tânia M. A. Araújo, secretaria da Pós-Graduação, por toda dedicação, eficiência e amizade.

Ao Conselho Nacional de Desenvolvimento Científico e Tecnológico (CNPq) pelo apoio financeiro na concessão da minha bolsa e à Coordenação de Aperfeiçoamento de Pessoal de Ensino Superior (CAPES) pelo suporte técnicocientífico através do Portal Periódicos.

À Universidade Federal da Paraíba, instituição maior, pelo desenvolvimento na minha carreira profissional.

A todos que de maneira direta ou indireta contribuíram para a produção deste trabalho.

Muito Obrigada!

Juliana da Nóbrega Carreiro

Resumo

RESUMO

O flavonoide 3,6-dimetil éter galetina (FGAL) foi isolado das partes aéreas de Piptadenia stipulacea (Benth.) Ducke. Em estudos anteriores, Macêdo et al. (2011a) demonstraram que FGAL inibiu de maneira dependente de concentração as contrações fásicas induzidas por carbacol e ocitocina em útero isolado de rata, sendo mais potente para ocitocina. Desta forma, o objetivo desse estudo foi investigar o mecanismo de ação tocolítica de FGAL em útero de rata. Para tanto segmentos de útero de rata foram suspensos em cuba para órgãos isolados e as contrações isométricas foram monitoradas. FGAL inibiu $(pD'_2 = 5, 68 \pm 0,06)$ as curvas cumulativas à ocitocina e estas foram desviadas para direita, de forma não paralela ("slope" = 3,59 \pm 0,04), com redução do E_{max} , sugerindo um antagonismo não competitivo. Em relação às contrações tônicas, FGAL relaxou de maneira significante, dependente de concentração e não equipotente o útero pré-contraído tanto por ocitocina (pD₂ = 6,9 \pm 0,1) como por KCI (pD₂ = 5,6 \pm 0,06). Como a abertura dos canais para cálcio dependentes de voltagem (Cay) é um dos passos comum às vias de sinalização da ocitocina e do KCI para manutenção da fase tônica da contração, levantou-se a hipótese de que FGAL poderia estar agindo por bloqueio do influxo de Ca²⁺ através dos Ca_V. Assim, foram induzidas contrações cumulativas com CaCl₂ em meio despolarizante e nominalmente sem Ca²⁺ na presença e na ausência de várias concentrações de FGAL. O flavonoide antagonizou as contrações induzidas pelo CaCl₂ evidenciado pelo desvio da curva controle para a direita de maneira não paralela e com diminuição do efeito máximo. Sugerindo assim que FGAL bloqueia de maneira indireta os Cay para promover efeito tocolítico em útero de rata. Os canais para K⁺ desempenham um papel chave na regulação do potencial de membrana e modulação dos Cay. Diante dessa premissa, decidiu-se investigar a participação desses canais na ação tocolítica de FGAL. A potência relaxante de FGAL (pD₂ = 6.9 ± 0.1) foi reduzida em aproximadamente 20 vezes na presença de CsCl (pD₂ = 5.6 ± 0.01), bloqueador não seletivo dos canais para K⁺, confirmando a participação de canais para K⁺ no efeito relaxante do flavonoide. Para determinar qual(is) canal(is) para K⁺ estariam envolvidos usou-se bloqueadores seletivos desses canais. A curva de relaxamento induzida por FGAL foi desviada para direita na presença de 4 -aminopiridina $(pD_2 = 5.4 \pm 0.01)$, um bloqueador seletivo dos canais para K⁺ ativados por voltagem (K_V) ; de glibenclamida $(pD_2 = 5.3 \pm 0.01)$, um bloqueador seletivo dos canais para K^+ ativados por ATP (K_{ATP}); de apamina (6,3 ± 0,02), um bloqueador seletivo dos canais para K⁺ de pequena condutância ativados por cálcio (SK_{Ca}) e tetraetilamônio 1 mM (pD₂ = 5,0 ± 0,08), que nesta concentração é um bloqueador seletivo dos canais para K⁺ de grande condutância ativados por cálcio (BK_{Ca}), sugerindo o envolvimento destes canais no mecanismo de ação tocolítica de FGAL em útero isolado de rata. A aminofilina um inibidor não seletivo de fosfodiesterases (PDE) não potencializou $(pD_2 = 6.7 \pm 0.03)$ o relaxamento produzido por FGAL em útero de rata, sugerindo que não há participação da via dos nucleotídios cíclicos no efeito relaxante induzido por FGAL. Conclui-se que o mecanismo de ação tocolítica de FGAL em útero de rata envolve a modulação positiva de canais para K⁺, majoritariamente dos BK_{Ca}, que modulam indiretamente os Ca_V, levando ao relaxamento da musculatura lisa uterina. Palavras-chave: FGAL. Ação tocolítica. Canais para potássio. Útero de rata.

Abstract

Tocolytic action of the 3,6-dimethyl ether, flavonoid isolated from *Piptadenia stipulacea* (Benth.) Ducke, involves potassium channels on rat uterus. CARREIRO, J. N. (2012)

Pós-Graduação em Produtos Naturais e Sintéticos Bioativos,
Dissertação de Mestrado, CCS/UFPB

ABSTRACT

The flavonoid 3,6-dimethyl ether galetin (FGAL) was isolated from aerial parts of Piptadenia stipulacea (Benth.) Ducke. In previous studies, Macêdo et al. (2011a) demonstrated that FGAL inhibited in a significant and concentration-dependent manner the phasic contractions induced by carbachol and oxytocin on rat uterus, in a higher potency to oxytocin. The aim of this study was to investigate the mechanism of tocolytic action of FGAL on rat uterus. Segments of rat uterus were suspended in organ bath and the isometric contractions were monitored. FGAL inhibited $(pD'_2 = 5.68 \pm 0.06)$ oxytocin cumulative curves and these were shifted to the right, in a non parallel manner (slope = 3.59 ± 0.04), with E_{max} the reduction, suggesting a non-competitive antagonism. In relation to the tonic contractions, FGAL relaxed in a concentration-dependent and significant manner but not equipotent rat uterus pre-contracted both oxytocin (pD₂ = 6.9 \pm 0.1) and KCI (pD2 = 5.6 \pm 0.06). How the opening channels for calcium-dependent voltage (Ca_V) is one of the common step to the signaling pathways of oxytocin and KCI to maintain the tonic phase of contraction, raised the hypothesis that FGAL could be acting by blocking the influx of Ca²⁺ through the Ca_V. Therefore, cumulative contractions were induced with CaCl₂ in depolarizing medium nominally without Ca2+ in the presence and absence of several concentrations of FGAL. The flavonoid antagonized the contractions induced by CaCl₂ evidenced by shift to the right of the control curve in a non parallel manner with reduction of E_{max}, suggesting that FGAL is blocking indirectly the Ca_V to promote tocolytic effect on rat uterus. The K⁺ channels play a key role in membrane potential regulation and Ca_V modulation. According to this premise, we decided to investigate the involvement of these channels in the tocolytic action of FGAL. The relaxing potency of FGAL (pD₂ = 6.9 ± 0.1) were reduced approximately 20 folds in the presence of CsCl (pD₂ = 5.6 \pm 0.01), a non-selective K⁺ channels blocker, confirming K⁺ channels the participation to the relaxant effect of the flavonoid. To determinated which K⁺ channel(s) subtype(s) were involved, selective blockers of these channels were used. The relaxation curve induced by FGAL was shifted to right in the presence of 4-aminopyridine (pD₂ = 5.4 ± 0.01), a selective blocker of voltage gated K^{+} channels (K_{V}) ; of glibenclamide $(pD_{2} = 5.3 \pm 0.01)$, a selective blocker of ATP sensitive K^+ channels (K_{ATP}); of apamin (6.3 ± 0.02), a selective blocker of small conductance calcium-activated K⁺ channels (SK_{Ca}) and tetraethylamonium (TEA⁺) 1 mM (pD₂ = 5.0 \pm 0.08), a big conductance calcium-activated K⁺ channels (BK_{Ca}), suggesting the involvement of these channels on tocolytic action mechanism of rat uterus. The aminophylline, non selective inhibitor а phosphodiesterases (PDE), did not potentialized (pD₂ = 6.7 ± 0.03) the relaxation produced by FGAL on rat uterus, suggesting that the cyclic nucleotides pathway is not involved on relaxing effect induced by FGAL. Thus, we concluded that the relaxing action mechanism of FGAL in rat uterus involves positive regulation of K⁺ channels, that indirectly modulated the Cay, leading to a consequent reduction of [Ca²⁺]_c and uterine smooth muscle relaxation.

Keywords: FGAL. Tocolytic action. Potassium channels. Rat uterus.

LISTA DE FIGURAS

						stipulace				
(Benth.)[Ducke	. (1) 3,6	S-dimetil	éter ga	ıletina, (isolados (2) desm	etoxice	ntaureid	ina e	(3)
_		•	•	•		(Benth.) [,	,		
Figura contraçõ		_	a dos	aparel	hos ut	ilizados	para	o reg	gistro	de
Figura 5	- Foto	s do pHn	netro dig	ital e da	balança	analítica				.45
de KCI,	na ai	usência ((A) e na	a preser	nça de Î	ções tônio	3), em	útero is	solado	de
de ocito	cina, r	na ausên	cia (A)	e na pre	sença d	ções tônio	(B), em	útero i	solado	de
10 ⁻² UI/m	ıL de	ocitocina	na ausé	ència (A)	e na pr	ontrações resença d	le 5 mM	l de Cs0	CI (B),	em
10 ⁻² UI/m	ıL de	ocitocina	na ausé	ència (A)	e na pr	ontrações esença d	le 3 mM	de 4-A	P (B),	em
10 ⁻² UI/m	ıL de	ocitocina	na aus	ência (A)) e na p	ontrações resença d	de glibe	nclamid	la (B),	em
10 ⁻² UI/m	ıL de	ocitocina	na ausé	ència (A)	e na pr	ontrações esença d	le apam	ina (B),	em út	ero
10 ⁻² UI/m	nL de	ocitocina	na ausé	ència (A)	e na pr	ontrações esença d	e 1 mM	de TEA	۱ ⁺ (B),	em

Figura	13-	Registros	representativos	das	contrações	tônicas	induzidas	por	10 ⁻²
			a ausência (A) e						
em úte	ro iso	olado de ra	ata						78

LISTA DE GRÁFICOS

Gráfico 1A - Efeito de FGAL frente às curvas concentrações-resposta cumulativas à ocitocina. Controle (■), [FGAL] M : 10 ⁻⁶ (○), 3 x 10 ⁻⁶ (♦) e 10 ⁻⁵ (△)53
Gráfico 1B - O gráfico representativo do log (DR-1) em função do log da concentração molar de FGAL53
Gráfico 2 - Efeito de FGAL sobre as contrações tônicas induzidas por KCI (●) ou ocitocina (■) em útero isolado de rata58
Gráfico 3 - Efeito de FGAL frente às curvas concentrações-resposta cumulativas ao CaCl₂ em meio despolarizante e nominalmente sem cálcio. Controle (■), [FGAL] M : 10 ⁻⁶ (○), 3 x 10 ⁻⁶ (♦), 10 ⁻⁵ (△) e 3 x 10 ⁻⁶ (▲)
Gráfico 4 - Efeito de FGAL sobre a fase tônica das contrações induzidas por ocitocina na ausência (■) e na presença de 5 mM de CsCl (♦), em útero isolado de rata63
Gráfico 5 - Efeito de FGAL sobre a fase tônica das contrações induzidas por ocitocina na ausência (■) e na presença de 3 mM de 4-AP (□), em útero isolado de rata66
Gráfico 6 - Efeito de FGAL sobre a fase tônica das contrações induzidas por ocitocina na ausência (■) e na presença de 3 x 10 ⁻⁵ M de glibenclamida (▽), em útero isolado de rata69
Gráfico 7- Efeito de FGAL sobre a fase tônica das contrações induzidas por ocitocina na ausência (■) e na presença de 10 nM de apamina (●), em útero isolado de rata72
Gráfico 8 - Efeito de FGAL sobre a fase tônica das contrações induzidas por ocitocina na ausência (■) e na presença de 1 mM de TEA ⁺ (▼), em útero isolado de rata75
Gráfico 9 - Efeito de FGAL sobre a fase tônica das contrações induzidas por ocitocina na ausência (■) e na presença de 10 ⁻⁴ M de aminofilina (★), em útero isolado de rata79

LISTA DE TABELAS

Tabela	1-	Compos	sição (da s	solução	de	Locke	Ringer	por	REVUE	:LTA;
CANTAB	RAN	IA; HIDA	ALGO		•••••						42
Tabela 2		•			•		•				
Tabela 3 3 x 10 ⁻⁶ M			-							-	
Tabela 4 3 x 10 ⁻⁶ M			-							-	
Tabela 5	5- Va	alores d	e pD ₂	de F	GAL na	aus	ência (c	ontrole)	e na	presenç	a de
diversos	bloq	ueadore	s de ca	nais	para po	tássic)				76

LISTA DE ABREVIATURAS E SIGLAS

ACh acetilcolina

BaCl₂ cloreto de bário

BK_{Ca} canais para potássio ativados por cálcio de grande condutância

[Ca²⁺]_c concentração citosólica do íon cálcio

Ca²⁺ - ATPase bomba de cálcio

CaM calmodulina

[Ca²⁺₄-CaM] complexo cálcio – calmodulina

AMPc monofosfato cíclico de adenosina

ANOVA análise de variância

ATP trifosfato de adenosina

Ca_V canais para cálcio dependentes de voltagem (De acordo com

The IUPHAR Ion Channel Compendium, 2002)

CGs ciclase de guanilil solúvel

COX ciclooxigenase

DAG diacilglicerol

EEB extrato etanólico bruto

E_{max} efeito máximo

FGAL galetina 3,6 dimetil éter

 $\mathbf{G}\alpha_{\mathbf{q}}$ subunidade alfa da proteína $G_{\mathbf{q}}$

GMPc monofosfato cíclico de guanosina

GPCRs receptores acoplados a proteína G

GTP trifosfato de guanosina

IP₃ trisfosfato de inositol

[K⁺]_e concentração de potássio externa

K_V canais de potássio sensíveis à voltagem

K_{ATP} canais de potássio ativados por ATP

LTD4 leucotrieno do tipo 4

MLC cadeia leve da miosina

MLCK cinase da cadeia leve da miosina

NADPH nicotinamida adenina dinucleotídeo fosfato oxidase

NO óxido nítrico

NOS sintase do óxido nítrico

OCI ocitocina

PDE fosfodiesterase

PGE2 prostaglandina E2

PKA proteína cinase dependente de AMPcPKG proteína cinase dependente de GMPc

PLC fosfolipase C

 ${f R}^2$ coeficiente de determinação de correlação não linear

R.S. retículo sarcoplasmático

SK_{Ca} canais para potássio ativados por cálcio de pequena condutância

4- AP 4 - aminopiridina

SUMÁRIO

1 INTRODUÇÃO 26
2 OBJETIVOS 38
2.1 Geral
2.2 Específicos
3 MATERIAL E MÉTODOS 40
3.1 MATERIAL 40
3.1.1 Material botânico
3.1.2 Animais
3.1.3 Drogas e Reagentes41
3.1.4 Soluções nutritivas
3.1.4 Preparação da solução - estoque da substância em estudo 43
3.1.5 Aparelhos
3.2 MÉTODOS
3.2.1 INVESTIGAÇÃO DO MECANISMO DE AÇÃO TOCOLÍTICA DE FGAL
EM ÚTERO ISOLADO DE RATA 45
3.2.2 Caracterização do antagonismo da contração induzida por ocitocina 45
3.2.2.1 Efeito de FGAL sobre as contrações tônicas induzidas por ocitocina ou
KCI

3.2.3 AVALIAÇÃO DO ENVOLVIMENTO DOS CANAIS PARA CÁLCIO NO
MECANISMO DE AÇÃO TOCOLÍTICA DE FGAL 47
3.2.3.1 Efeito de FGAL sobre as contrações cumulativas induzidas por CaCl ₂
em meio despolarizante nominalmente sem cálcio
3.2.3.2 AVALIAÇÃO DO ENVOLVIMENTO DOS CANAIS PARA POTÁSSIO
NO MECANISMO DE AÇÃO TOCOLÍTICA DE FGAL 47
3.2.3.2.1 Efeito de FGAL sobre as contrações tônicas induzidas por ocitocina,
na ausência e na presença de cloreto de césio47
3.2.3.2.2 Efeito de FGAL sobre as contrações tônicas induzidas por ocitocina,
na ausência e na presença de 4-aminopiridina, glibenclamida, apamina,
tetraetilamônio
3.2.3.3 INVESTIGAÇÃO DA PARTICIPAÇÃO DOS NUCLEOTÍDIOS
CÍCLICOS NO MECANISMO DE AÇÃO TOCOLÍTICA DO FGAL 49
3.2.3.3.1 Efeito do FGAL sobre as contrações tônicas induzidas por ocitocina,
na ausência e na presença de aminofilina 49
3.2.3.4 ANÁLISE ESTATÍSTICA 50
4. RESULTADOS 52
4.1 INVESTIGAÇÃO DO MECANISMO DE AÇÃO TOCOLÍTICA DE FGAL EM
ÚTERO ISOLADO DE RATA 52
4.1.1 Característica do antagonismo da contração induzida por ocitocina 52
4.1.2 Efeito de FGAL sobre as contrações tônicas induzidas por ocitocina ou
KCI 55

4.2 AVALIAÇÃO DO ENVOLVIMENTO DOS CANAIS PARA CÁLCIO N	10
MECANISMO DE AÇÃO TOCOLÍTICA DE FGAL SOBRE AS CONTRAÇÕI	ES
CUMULATIVAS INDUZIDAS POR CaCI2 EM MEIO DESPOLARIZAN	TE
NOMINALMENTE SEM CÁLCIO	59
4.3 AVALIAÇÃO DO ENVOLVIMENTO DOS CANAIS PARA POTÁSSIO N	NΟ
MECANISMO DE AÇÃO TOCOLÍTICA DE FGAL	61
4.3.1 Efeito de FGAL sobre as contrações tônicas induzidas por ocitocina	na
ausência e na presença de cloreto de césio	61
4.3.2 Efeito de FGAL sobre as contrações tônicas induzidas por ocitocina	na
ausência e na presença de 4-aminopiridina	64
4.3.3 Efeito de FGAL sobre as contrações tônicas induzidas por ocitocina	na
ausência e na presença de glibenclamida	67
4.3.4 Efeito de FGAL sobre as contrações tônicas induzidas por ocitocina	na
ausência e na presença de apamina	70
4.3.5 Efeito de FGAL sobre as contrações tônicas induzidas por ocitocina	na
ausência e na presença de tetraetilamônio	
	. •
4.3.6 Efeito de FGAL sobre as contrações tônicas induzidas por ocitocina	na
ausência e na presença de aminofilina	77
5 DISCUSSÃO	81
6 CONCLUSÕES	83
REFERÊNCIAS	88
ANEXOS	93

Introdução

1. INTRODUÇÃO

Os produtos naturais são muito bem sucedidos como fontes de drogas (HARVEY, 2000; NEWMAN; CRAGG; SNADER, 2003). Estes podem ser provenientes de micro-organismos, plantas, organismos marinhos, anfíbios entre outros animais para fins diversos, incluindo barreiras protetoras, coenzimas e cofatores, para defesa do hospedeiro contra infecção bacteriana e predadores (animais), proteção de seu nicho ecológico, comunicação intra e inter espécies, pigmentos, sinalização celular, expressão gênica e homeostase dos organismos (JONH, 2010)

Historicamente, a fonte natural mais importante são as plantas, tendo sido usadas como remédio através dos anos (TULP; BOHLIN, 2004). Estes remédios inicialmente eram usados na forma de drogas brutas, como as tinturas, chás, pós e outras formulações vegetais (SAMUELSSON, 2004) na busca do alívio e/ou cura das doenças pelo homem por milhares de anos (BALICK, 1997; VIEGAS-JÚNIOR; BOLZANI; BARREIRO, 2006).

O Brasil possui uma grande diversidade genética de espécies de plantas, fator esse estimulante para a pesquisa e estudo dos produtos naturais. Contudo, somente 10% têm sido avaliadas com respeito às suas características biológicas e apenas 5% com objetivos fitoquímicos (LUNA, 2005).

A pesquisa moderna em produtos naturais no Brasil teve início em meados do século passado e tem sido foco de constantes revisões, indicando uma preocupação com a diversidade a ser pesquisada, a qualidade e objetividade dos trabalhos bem como sua divulgação no meio científico (PUPO; GALLO, 2009). Através de investigações por meio de triagem de extratos obtidos de diversas espécies de plantas ou utilizando substâncias isoladas a partir de métodos de extração, isolamento e identificação pode-se obter substâncias usadas na terapêutica moderna ou ferramentas farmacológicas como: quinina (antimalárico), pilocarpina (colinesterásico), sildenafila (vasodilatador), vincristina (anticancerígeno), penicilinas, cefalosporinas (antibióticos), ácido acetil salicílico (AAS) morfina (analgésicos), captopril (anti-hipertensivo), (anticolesterol) e azidovudina (antiviral) (BARREIRO, 2009). Outras substâncias estão sendo investigadas por atuarem em importantes vias de sinalização, como o fumagilim e o TNP-470 (potentes inibidores da angiogênese), FTY720 (imunosupressor) e a diazonamida A (anti -tumoral) (HONG, 2011).

A complexidade na descoberta de novas drogas é um fator que incentiva estudos com espécies vegetais, sendo necessários atualmente de sete a dez anos para o desenvolvimento completo de um novo medicamento (FLISCHER; MONTARI, 1995; CALIXTO, 2000; SIXEL; PECINALLI, 2005).

O uso de plantas e/ou seus constituintes na prática médica cresceu visivelmente. Em uma época em que as exigências de segurança, eficácia e qualidade, estabelecidas pelas agências regulamentadoras tornaram-se cada vez mais rígidas, a entrada de medicamentos no mercado deve estar vinculada aos estudos científicos necessários para que a população tenha acesso a uma terapia alternativa de qualidade, a qual exige um considerável investimento em pesquisas com produtos naturais oriundos de plantas e seus constituintes isolados (PUPO; GALLO, 2007).

Diante disso, houve um ressurgimento dos produtos naturais para a descoberta de novos fármacos provenientes de substâncias isoladas, o que incentivou a pesquisa científica para a comprovação dos efeitos observados empiricamente pela população (SIXEL; PECINALLI, 2005).

Dentre as plantas provedoras de produtos naturais destaca-se a família Fabaceae que é composta de plantas que se apresentam como ervas, arbustos e árvores com grande variedade de habitats, incluindo aquáticas, xerófitas e trepadeiras. Tem distribuição cosmopolita nas zonas tropicais, subtropicais e temperadas (HEYWOOD, 1996) e é constituída por 476 gêneros e 13.855 espécies (STEVENS, 2005).

Produtos naturais de várias classes já foram isolados de espécies da família Fabaceae, incluindo flavonoides, benzofuranoides, óleos essenciais, triterpenoides e alcaloides de *Bowdichia virgilioides* Kunt. (MARINHO, 1991; MARINHO et al., 1994; MELO et al., 2001; BARBOSA-FILHO et al., 2003).

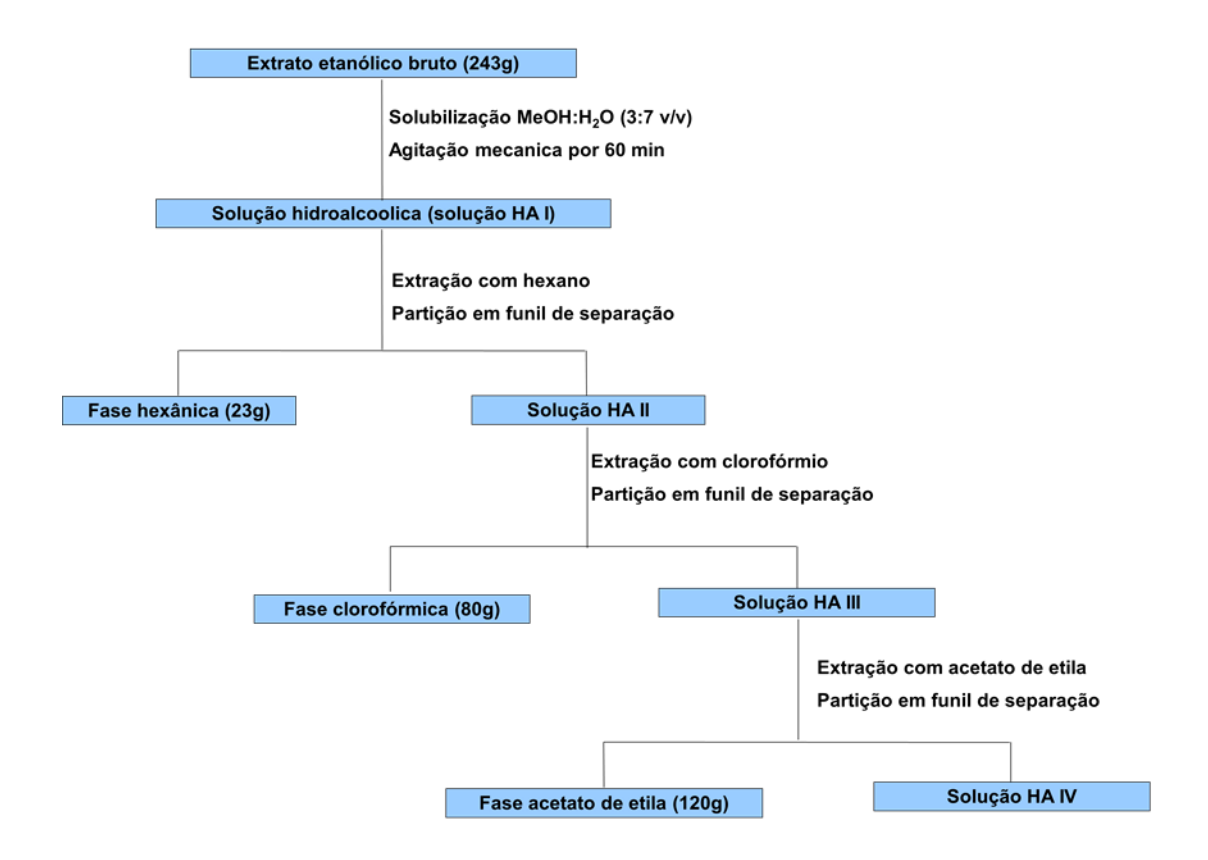
A espécie *Piptedania stipulacea* (Benth) Ducke (Figura 1) é uma árvore da caatinga do nordeste brasileiro, conhecida como "Jurema branca" (FABRICANTE; ANDRADE, 2007), "Carcará", "Calumbi" e Jurema malícia da serra" (FLORENTINO et al., 2007). Essa espécie é bastante utilizada na medicina popular nos processos inflamatórios na forma de tintura ou decoctos para tratar feridas (ALBUQUERQUE; ANDRADE, 2002) e estudos científicos confirmam sua atividade antibacteriana e antifúngica contra cepas de *Candida albicans* (BEZERRA, 2008). Em outro estudo, extratos de *Piptadenia stipulacea* também mostraram ser eficazes contra *Staphylococcus aureus*, *Bacillus subtilis*,

Streptococcus faecium e Neurospora crassa (CHIAPPETA; DE MELLO, 1984). Recentemente, foram evidenciadas atividades antinociceptiva e anti-inflamatória em camundongos das frações acetato de etila e aquosa dessa espécie obtidas a partir do extrato etanólico bruto. (QUIEROZ et al., 2010).



Figura 1: Piptadenia stipulacea ((Benth)) Ducke

Partes aéreas da espécie coletada em Serra Branca-PB foram secas, moídas e extraídas a frio com etanol, obtendo-se o extrato etanólico bruto (EEB), que após extração líquido/líquido com solventes orgânicos obteve-se as fases hexânica, clorofórmica, acetato de etila e metanólica (Fluxograma 1).



Fluxograma 1: Fracionamento do extrato etanólico bruto das partes aéreas de *Piptadenia stipulacea* ((Benth)) Ducke

A fase clorofórmica forneceu três flavonoides: **(1)** galetina 3,6-dimetil éter (FGAL), **(2)** desmetoxicentaureidina e **(3)** santina (Figura 2). Onde FGAL possui peso molecular de 294 u.m.a. (LIRA et al., 2009). O flavonoide FGAL foi descrito pela primeira vez na família Fabaceae.

Figura 2: Estruturas químicas dos flavonoides isolados de *Piptadenia stipulacea* ((Benth)) Ducke. (1) Galetina 3,6-dimetil éter, (2) desmetoxicentaureidina e (3) santina.

Os flavonoides constituem uma classe ampla de substâncias polifenólicas encontradas em plantas. Este grupo inclui várias subclasses, como os flavonois, flavonas, flavanonas, antrocianidinas, isoflavonas, diidroflavonois e chalconas (PEREZ-VIZCAINO, 2010). A enorme variedade estrutural destes metabólitos e os diversos estudos químicos, genéticos e enzimológicos refletem o crescente e continuado interesse de químicos, farmacólogos e biólogos nesta classe de compostos (WOLLENWEBER, 1994). São amplamente distribuídos no reino vegetal e consumidos em grande quantidade na alimentação diária (DI CARLO et al., 1999). Estruturalmente são compostos fenólicos presentes em grande número de plantas, podendo ocorrer no estado livre ou associados a açúcares, ou alquilados como éteres metílicos, esterificados, dentre outros (WOLLENWEBER, 1994).

Os flavonoides também são encontrados em diversas plantas medicinais e muitos medicamentos são derivados de ervas medicinais, sendo bastante utilizados em todo o mundo. Estes metabólitos são capazes de modular a atividade de enzimas e afetar o comportamento de muitos sistemas celulares,

sugerindo que estes compostos tem significantes atividades anti-hepatotóxica (SOIKE; LENG-PESCHLOW, 1987), proteção vascular (BERETZ; CAZENAVE, 1988) antialérgica (SAMUELSON, 1993; BERG; DANIEL, 1988), anti-inflamatória (MASCOLO et al., 1988; EMIM et al., 1994), antiosteoporótica (EATON-EVANS, 1994) e antitumoral (MARTIN et al., 1994; DE LA LASTRA et al., 1994; IZZO et al., 1994; IZZO, 1996).

Destacam-se também pela sua atividade antioxidante, sendo os antioxidantes mais abundantes encontrados em dietas comuns. Mais de 4000 flavonoides diferentes foram identificados nos alimentos, sendo suas principais fontes são as maçãs, cebolas, amoras, chocolate, frutas vermelhas, frutas cítricas, nozes e bebidas, como chá, cerveja e vinho (RUSSO et al., 2000)

Alguns flavonoides são conhecidos por "sequestrar" radicais livres oxigenados e recentemente, estudos sugerem que talvez eles também sejam "sequestradores" muito potentes do óxido nítrico (NO) (VAN ACKER et al., 1995). Estudos recentes sugerem que os flavonoides podem inibir in vitro a atividade da enzima NADPH diaforase no cérebro, responsável pela síntese do NO. Estes experimentos sugerem que a quercetina e a apigenina inibiram marcadamente a atividade desta enzima de maneira dependente de concentração, sugerindo que estes flavonoides talvez também sejam capazes de inibir a produção de NO no cérebro (TAMURA et al., 1994). Foi relatado que a quercetina e outros flavonoides inibiram as contrações induzidas em íleo de cobaia (FANNING et al., 1983; MACANDER, 1986). Capasso e colaboradores (1991a), testaram 13 flavonoides de várias classes (apigenina, categuina, crisina, flavona, hesperetina, campferol, morina, miceritina, naringenina, naringina, floridzina, quercetina e taxifolina) sobre as contrações induzidas por prostaglandina E2 (PGE2), leucotrieno do tipo D4 (LTD₄), acetilcolina (ACh) e cloreto de bário (BaCl₂) em íleo isolado de cobaia e observaram que todos eles inibiram estas contrações. Os mesmos pesquisadores também observaram que os flavonoides inibiram as contrações induzidas eletricamente e por uma variedade de agonistas, dentre eles a ACh, 5-hidroxitriptamina, histamina e algumas prostaglandinas, em íleo isolado de cobaia.

Ainda sobre atividade espasmolítica para os flavonoides, encontrase o 3,7,8,4'-tetra-O-metilgossipetina (SP-EA-01) e 3,7-di-O-metilcanferol (SP-EA-15), obtidos de *Solanum paludosum* Moric, que apresentaram efeito relaxante em aorta de rato e a ação deles envolve bloqueio do influxo de cálcio através dos

canais para cálcio dependentes de voltagem (Ca_V) (SILVA, 2005). Retusina e me-retusina, isolados de Solanum paludosum Moric, apresentam efeito espasmolítico em íleo de cobaia, onde o efeito espasmolítico de retusina e meretusina não envolvem o bloqueio do influxo de cálcio, ativação de canais de potássio nem as vias adrenérgicas e colinérgicas, mas o mecanismo de ação de retusina envolve a participação da enzima sintase do óxido nítrico (NOS) e o mecanismo promovido pelo me-retusina envolve a participação da via fosfodiesterase (PDE) -nucleotídeos cíclicos (SANTOS, 2006). Isoliquiritigenina, isolado de Glycyrrhiza ularensis, apresenta atividade antiespasmódica em jejuno, íleo e reto de camundongo, através da inibição de PDEs (SATO et al., 2007). Diplotropina (3, 4, 5, 8-tetrametoxi-6, 7 2", 3"-furanoflavana), Diplotropis ferruginea (Benth) exerce efeito relaxante em íleo de cobaia e útero de rata através da participação dos canais de potássio ativados por cálcio de grande condutância (BK_{Ca}). (LIMA, 2008). Liu et. al., (2008) demonstraram que o flavonoide isoliquiritigenina, isolado das raízes de Glicyrrhiza glabra, apresenta efeito relaxante em traqueia de cobaia através de vários mecanismos, como ativação da ciclase de guanilil solúvel (CGs), inibição de PDE, ativação da via de sinalização da proteína cinase dependente de monofosfato cíclico de guanosina PKG / GMP_c e abertura de BK_{Ca}, genisteina, quenferol e quercetina apresentaram efeito espasmolítico em útero de rata, através da participação de nucleotídeos cíclicos (REVUELTA; CANTABRANA; HIDALGO, 1997).

O 3,6 dimetil éter galetina (FGAL), flavonoide isolado da fase clorofórmica da partes aéreas de *Piptadenia stipulaceae* (Benth) Ducke, nosso objeto de estudo, apresentou atividades farmacológicas como: atividade antiviral (ELSOHLY et al., 1997), tratamento de doenças da pele (ROSENBLOOM, 2003), tratamento de doenças periféricas vasculares e neurais (ROSENBLOOM, 2004), anticancerígeno (ROSENBLOOM, 2006), inibição da síntese de NO (MORIKAWA et al., 2006), inibição da α-amilase (AL-DABBAS et al., 2006), atividade antioxidante (LEACH et al., 2007), antinociceptiva e anti-inflamatória em camundongos, provavelmente pela ação antioxidante e inibidora de ciclo-oxigenase (COX) (QUIEROZ et al., 2010). Com estudos em nível de triagens farmacológicas realizados pelo nosso laboratório, observou-se efeito relaxante em músculo liso de aorta isolada de rato e traqueia isolada de cobaia e útero isolado de rata (Macêdo et al., 2011).

Há um grande interesse em se investigar drogas obtidas diretamente de plantas, ou seus derivados, que atuem na musculatura lisa, pois esse músculo é o principal responsável pelo controle da maioria dos órgãos ocos dos sistemas do corpo. As células da musculatura lisa estão presentes nas paredes de vários órgãos, incluindo os vasos sanguíneos, estômago, bexiga, vias aéreas, intestinos e útero, logo a regulação da contração do músculo liso tem um papel importante em muitos processos fisiopatológicos, cuja contração anormal do músculo liso é importante em condições como a hipertensão arterial, vasoespasmo coronariano e cerebral, asma brônquica, disfunção erétil, complicações durante o parto e desconforto causado por cólicas menstruais (WEBB, 2003).

No músculo liso um aumento na concentração de cálcio citosólica ([Ca²⁺]_c), é a causa primária para contração, também está envolvida na proliferação celular (VAN BREEMEN; SAIDA, 1989).

A contração pode ser alcançada quer através da despolarização da membrana (acoplamento eletromecânico), levando ao aumento da [Ca²⁺]_c, proveniente do meio extracelular através dos Ca_v, desencadeando o processo de contração muscular. Ou induzida por um agonista (acoplamento farmacomecânico) que pode ser independente do potencial de membrana (SOMLYO; SOMLYO, 2003). Agonistas como ocitocina, carbacol ou histamina se ligam a receptores acoplados à proteína G (GPCRs) e ativam a cascata do fosfatidilinositol, através da proteína G_{α} ou G_{11} mediando a produção de 1,4,5-trisfosfato de inositol (IP₃), que estimulam a liberação de Ca²⁺ do retículo sarcoplasmático (R.S.) e diacilglicerol (DAG), responsável pela ativação da proteína cinase C (PKC) que por sua vez pode fosforilar canais para potássio bloqueiando-os e levando a uma ativação indireta dos Ca_v (FUKATA; AMANO; KAIBUCHI, 2001). O aumento na [Ca^{2+]} favorece a ligação do Ca²⁺ com a proteína calmodulina, formando o complexo 4Ca²⁺-calmodulina. Este complexo ativa a cinase da cadeia leve da miosina (MLCK) a qual fosforila a cadeia leve da miosina (CLM), promovendo a interação da CLM com os filamentos de actina, desencadeando o processo de contração do músculo liso (WEBB, 2003).

Na busca por substâncias que interfiram na sinalização do Ca²⁺, o músculo liso se tornou uma alternativa para o desenvolvimento de técnicas que possibilitem essa investigação (KARAKI et al., 1997).

O cálcio é um importante segundo mensageiro que desempenha um papel necessário a uma grande variedade de processos biológicos, incluindo a regulação enzimática, expressão gênica, tráfego de proteína, proliferação celular, apoptose, e a coordenação do acoplamento excitação-contração do músculo (CARAFOLI, 2002). Em geral, existem duas fontes deste íon sinalizador na célula: uma extracelular que permitir o influxo de Ca²⁺ para o citoplasma, através dos canais na membrana plasmática, e outra intracelular representada pelos estoques internos, principalmente o retículo sarcoplasmático (R.S.) que liberam Ca²⁺ para o citosol (PAN; MA, 2003).

Os mecanismos que levam a uma resposta contrátil através do acoplamento eletromecânico são devido a uma despolarização de membrana diretamente pelo aumento da concentração externa de K⁺ ([K⁺]_e) ou indiretamente pela ligação dos agonistas de acoplamento misto aos seus receptores levando à abertura de Ca_V, causando influxo de Ca²⁺ no citoplasma e, consequentemente, a contração (REMBOLD, 1996). Já os mecanismos fármaco-mecânicos da contração incluem (1) aumento de 1,4,5-trifosfato de inositol (IP₃) e diacilglicerol (DAG) por ligação do agonista com o receptor ativando a proteína G_{0/11}-fosfolipase C (PLC). O IP₃ liga-se ao seu receptor permitindo a liberação de Ca2+ dos estoques intracelulares presentes no retículo sarcoplasmático (RS) que favorecerá a formação do complexo $4Ca^{2+}$ – CaM disparando o início do mecanismo contrátil (GARRET; GRISHAM, 1995); (2) aumento do influxo de Ca2+ através da abertura do canal de Ca²⁺ tipo L por um mecanismo que não envolve mudança no potencial de membrana; (3) liberação do Ca²⁺ induzida por Ca²⁺ através de receptores de rianodina (sensíveis à cafeína) presentes na membrana do R.S. (KOMORI et al., 1995) e (4) aumento do Ca²⁺ por ativação do trocador Na⁺/Ca²⁺ reverso (BLAUSTEIN, 1989).

Os mecanismos de relaxamento podem incluir: (1) hiperpolarização, (2) aumento na atividade da enzima Ca²⁺ – ATPase (bomba de Ca²⁺), tanto do R.S. como da membrana plasmática, através da fosforilação pela PKG, levando a um aumento do sequestro e da extrusão de Ca²⁺, respectivamente, diminuindo assim a [Ca2+]_c; (3) diminuição da formação do IP₃ e consequente diminuição da liberação de Ca²⁺ dos estoques como o RS; (3) redução da [Ca²⁺]_c via AMPc/PKA por diminuir o influxo de Ca²⁺ indiretamente, por hiperpolarização, ou por agir diretamente nos Ca_v do tipo 1 inativando-os e finalmente (4) diminuição da [Ca2+]_c por ativação do trocador Na⁺/Ca²⁺ (BLAUSTEIN, 1989).

Os canais de cálcio e potássio estão intimamente relacionados com a regulação do músculo liso (WATTERSON; RATZ; SPIEGEL, 2005). A principal

porta de entrada para o Ca²⁺ que vem do meio extracelular são os Ca_V (CATTERALL, 2000), os quais estão presentes na membrana celular da maioria das células excitáveis (ALEXANDER; MATHIE; PETERS, 2007). A entrada de cálcio em músculo liso visceral é controlada pelo potencial de membrana, uma vez que este determina a abertura de canais de Ca²⁺ dependentes de voltagem (SHMIGOL; EISNER; WRAY, 1998; WRAY et al., 2001).

Pelo menos 10 tipos diferentes de Ca_V subdivididos em três grandes famílias já foram descritos: (1) sensíveis a di-hidropiridina e ativados por alta voltagem (Ca_V1); (2) insensíveis a di-hidropiridina e ativados por alta voltagem, (Ca_V2); e (3) ativados por baixa voltagem (Ca_V3), (ERTEL et al., 2000; ALEXANDER; MATHIE; PETERS, 2007). Os Ca_V1.2 são amplamente expresso no corpo humano (músculo cardíaco, músculo liso, células endócrinas, neurônios) (CATERRALL et al., 2005) e acoplados a despolarização de membrana em muitos processos celulares essenciais, incluindo ativação da transcrição (DOLMETSCH et al., 2001), exocitose (ARTALEJO; ADAMS; FOX, 1994), contração muscular (CLEEMANN; MORAD, 1991; LOPEZ-LOPEZ et al., 1995), entre outros.

Os Ca_V1 sensíveis à di-hidropiridínas são os principais e muitas vezes o único tipo de canal de Ca^{2+} expresso em muitos músculos lisos (THORNELOE; NELSON, 2005; WRAY; BURDYGA; NOBLE, 2005). A subunidade $\alpha 1$ dos Ca_V é a formadora de poros e fornece o sítio de ligação extracelular para praticamente todos os agonistas e antagonistas, como por exemplo os derivados di-hidropiridínicos (ALEXANDER; MATHIE; PETERS, 2007).

O fluxo dos íons K^+ através de canais localizados na membrana regulam o influxo de Ca^{2+} através dos Ca_V (THORNELOE; NELSON, 2005). Os canais de potássio desempenham um papel chave na regulação do potencial de membrana e na excitabilidade celular, sendo a contração no músculo liso dependente do balanço entre o aumento da condutância ao íon K^+ , levando a uma hiperpolarização, e a diminuição da condutância ao K^+ , levando a uma despolarização (KNOT et al., 1996).

Os canais de K⁺ são reguladores fundamentais da excitabilidade celular. Eles estão envolvidos em várias funções fisiológicas, tais como, potencial de membrana celular e secreção de hormônios e de neurotransmissores. Sua atividade pode ser regulada por voltagem, Ca²⁺ ou por neurotransmissores e

consequentemente as vias de sinalização que eles estimulam (ALEXANDER; MATHIE; PETERS, 2007).

Os ativadores de canais de K⁺ são substâncias que incluem um grupo de diversas moléculas com um largo potencial terapêutico (QUEST, 1992; EMPFIELD; RUSSELL; TRAINOR, 1995). Estes compostos abrem os canais de K⁺, causando hiperpolarização de membrana através do aumento do efluxo de K⁺, diminuição o influxo de Ca²⁺ e consequente diminuição do Ca²⁺ intracelular livre culminando assim no relaxamento do múscular (QUEST; COOK, 1989; WESTON; EDWARDS, 1992).

No músculo liso, o tônus basal pode ser regulado por vários subtipos de canais de K^+ , entre eles: canais de K^+ dependentes de voltagem (Kv); canais de K^+ ativados por Ca^{2+} de larga condutância (BK_{Ca}); canais de K^+ ativados por Ca^{2+} de pequena condutância (SK_{Ca}); canais de K^+ sensíveis ao ATP (K_{ATP}), entre outros (THORNELOE; NELSON, 2005).

O útero é um órgão oco, revestido de musculatura lisa bem diferenciada, possuindo três camadas: endométrio, miométrio (camada muscular lisa espessa) e serosa (camada externa) (AGUILLAR; MITCHELL, 2010).

Tem havido um progresso notável para o entendimento da fisiologia e fisiopatologia do útero, o que resultou em muitas intervenções importantes que afetam a concepção e contracepção, bem como a função menstrual. Embora haja crescente conscientização da importância potencial da função anormal da camada muscular do útero (miométrio), há relativamente poucos estudos sobre o papel do miométrio em doenças mais frequentes da reprodução (AGUILLAR; MITCHELL, 2010).

A função do miométrio é de vital importância em processos fisiológicos como implantação do embrião e na manifestação de distúrbios como dismenorreia, a qual ocorre por um descontrole das contrações uterinas (AGUILLAR; MITCHELL, 2010). A dismenorreia é uma síndrome caracterizada por um ou mais sintomas que se manifestam no período pré ou intramenstrual. A dor geralmente é mais intensa no primeiro dia da menstruação e, em mais de 50% dos casos, é acompanhada por outros sintomas como náuseas, vômitos, palidez, cefaleia, diarreia, vertigem e desmaio (FONSECA, 2000). Essa contração exagerada promove a redução do fluxo vascular uterino, causando hipóxia e isquemia, aumentando ainda mais o quadro doloroso (BORTOLETO, 1995). Acredita-se que cerca de 50% a 90% das mulheres apresentem cólica uterina em

algum momento de suas vidas, sendo que 10% das pacientes tornam-se incapazes de desenvolver suas atividades habituais em decorrência da dor (MOTTA, 2000).

Tendo em vista a importância dos flavonoides, no tocante a serem metabólitos secundários produzidos pelas plantas, e uma vez que vários destes metabólitos apresentam atividade espasmolítica através de diferentes mecanismos de ação e sendo ainda descrito na literatura que há poucos estudos relacionados tanto à fisiologia como à fisiopatologia uterina, resolveu-se investigar a potencial atividade espasmolítica de FGAL sobre útero isolado de rata e seu provável mecanismo de ação em nível funcional.

.

Objetivos

2. OBJETIVOS

2.1 Geral

Contribuir para o estudo farmacológico de *Piptadenia stipulaceae* (Benth) Ducke (Fabaceae), investigando o mecanismo de ação tocolítico do 3,6-dimetil éter galetina (FGAL), isolado das partes aéreas desta planta em útero isolado de rata.

2.2 Específicos

- a) Avaliar o antagonismo de FGAL frente contrações cumulativas induzidas por ocitocina.
- Avaliar o efeito de FGAL sobre as contrações tônicas induzidas por KCl ou por ocitocina.
- c) Investigar o efeito de FGAL sobre os canais para cálcio dependentes de voltagem.
- d) Investigar o efeito de FGAL sobre os canais para potássio.
- e) Determinar qual(ais) subtipo(s) de canais para potássio está(ão) envolvido(s) no mecanismo de ação tocolítico de FGAL.
- f) Investigar a participação dos nucleotídeos cíclicos como moduladores do efeito tocolítico de FGAL.

Material e Métodos

3 MATERIAL E MÉTODOS

3.1 MATERIAL

3.1.1 Material Botânico

A espécie *Piptadenia stipulaceae* (Benth) Ducke foi coletada no município de Serra Branca, estado da Paraíba, em abril de 2005. O material botânico foi identificado pela Profa. Dra. Maria de Fátima Agra, do setor de botânica do Laboratório de Tecnologia Farmacêutica "Prof. Delby Fernandes de Medeiros" (LTF). Uma exsicata da planta se encontra depositada no Herbário Prof. Lauro Pires Xavier (JPB), da Universidade Federal da Paraíba (UFPB) sob código de identificação AGRA 3331 (JPB) (Figura 3).





Figura 3. *Piptadenia stipulacea* (Benth) Ducke. **A** árvore; **B** galhos (Fonte: www. cnip.org.br)

3.1.2 Animais

Foram utilizadas ratas Wistar (*Rattus novergicus*) virgens pesando entre 200 e 250g, todas procedentes do Biotério "Prof. Thomas George" do Centro de Biotecnologia (CBiotec).

Antes dos experimentos os animais eram mantidos sob rigoroso controle alimentar com uma dieta balanceada a base de ração tipo *pellets* (Purina) com livre acesso a água, com ventilação e temperatura (21 ± 1 °C) controladas e constantes, submetidos diariamente a um ciclo claro-escuro de 12 h sendo o período claro das 06h00 às 18h00.

Para os experimentos *in vitro* em nível funcional, todos os animais eram eutanasiados seguindo os princípios de cuidados com animais aprovados pelo Comitê de Ética em Utilização Animal do CBiotec (CEUA/CBiotec), certidão número 0303/11.

3.1.3 Drogas e Reagentes

O bicarbonato de sódio (NaHCO₃), cloreto de potássio (KCI), cloreto de cálcio bi - hidratado (CaCl₂.2H₂O), cloreto de sódio (NaCI), cloreto de magnésio hexa-hidradado (MgCl₂.6H₂O), fosfato monossódico mono-hidrato (NaH₂PO₄.H₂O) e glicose foram obtidos da Merck & Co., Inc. (Whitehouse Station, NJ, EUA), cloreto de césio (CsCI), cloreto de tetraetilamônio (TEA⁺), glibenclamida, apaminutosa, 4-aminutosopiridina (4-AP), aminutosofilina, o dietilestrilbestrol e óleo de castor (cremophor®) foram obtidos da Sigma-Aldrich Co. (Saint Louis, MO, EUA). A ocitocina foi obtida da Eurofarma (Brasil)

A mistura carbogênica (95 % de O_2 e 5 % de CO_2) foi obtida da White Martins.

As partes aéreas de *Piptadenia stipulacea* (Benth) Ducke. foram secas, moídas e extraídas a frio com etanol, obtendo-se o extrato etanólico bruto (EEB), que após extração líquido/líquido com solventes orgânicos obteve-se as fases hexânica, clorofórmica, acetato de etila e metanólica. A fase clorofórmica forneceu três flavonóides: santina, desmetoxicentaureidina e galetina 3,6-dimetil éter (FGAL).

3.1.4 Soluções Nutritivas

Foi utilizada solução nutritiva de Locke Ringer, aerada com mistura carbogênica (95% de O_2 e 5% de CO_2). O pH era ajustado para valores entre 7,2 e 7,4 com solução de HCl ou NaOH (1N) e mantida a temperatura constante de 32 \pm 1 °C. A composição desta solução está descrita a seguir.

Tabela 1. Composição da solução de Locke Ringer (REVUELTA; CANTABRANA; HIDALGO, 2000).

Substância	Concentração (mM)
NaCl	154,0
KCI	5,63
CaCl ₂	2,16
MgCl ₂	2,10
Glicose	5,55
NaHCO ₃	5,95
•	

Tabela 2. Composição da solução de Locke Ringer nominutosalmente sem cálcio.

Substância	Concentração (mM)
NaCl	154,0
KCI	5,63
MgCl ₂	2,10
Glicose	5,60
NaHCO ₃	6,00

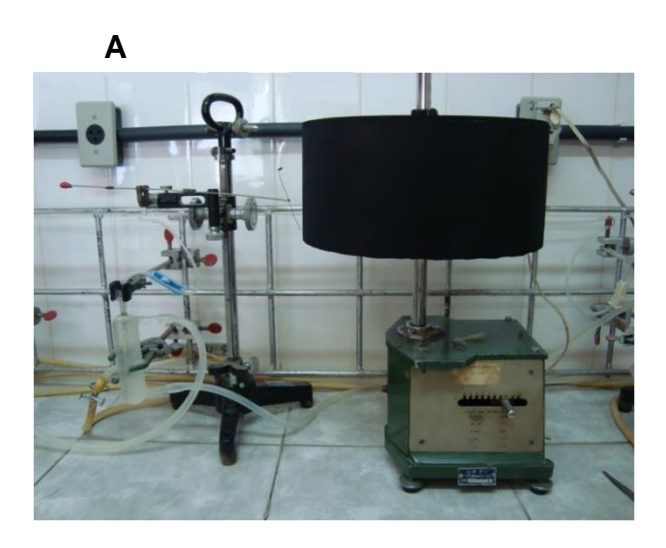
3.1.5 Preparação da solução-estoque da substância em estudo

FGAL era solubilizada em cremophor® e diluída em água destilada para obtenção da solução estoque (10⁻² M, 3% cremophor® v/v) a qual era estocada em "freezer" a uma temperatura de 4 a 8 °C, sendo novamente diluída em água destilada de acordo com a necessidade de cada protocolo experimental. A concentração final de cremophor® nas cubas nunca excedera 0,01% (v/v). Nesta concentração o cremophor® é desprovido de efeito contrátil ou relaxante significante no órgão estudado, de acordo com dados obtidos em experimentos anteriores realizados em nosso laboratório.

3.1.6 Aparelhos

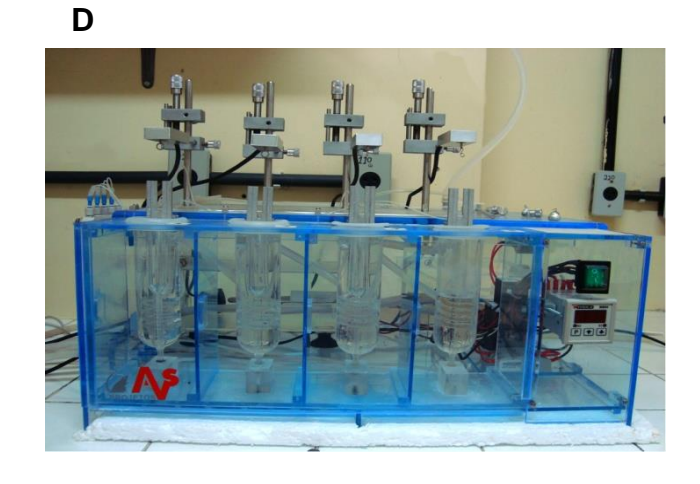
Para registro das contrações isométricas e isotônicas os órgãos eram suspensos em cubas de vidro (5 mL) aquecidas à temperatura adequada por bombas termostáticas modelo 597 FISATOM (São Paulo, SP, Brasil) e modelo Polystat 12002 Cole-Parmer (Vernon Hills, IL, EUA). As contrações isométricas também foram registradas através de transdutores de força TIM-50 AVS Projetos (São Paulo, SP, Brasil) que estavam acoplados em um amplificador AECAD 04F que por sua vez estava conectado a um computador contendo o programa AQCAD versão 2.03 ambos da AVS Projetos (São Paulo, SP, Brasil) (Figura 4).

As contrações isotônicas eram registradas por meio de uma alavanca isotônica de inscrição frontal em cilindros esfumaçados de um quimógrafo DTF (São Paulo, SP, Brasil). Os valores de pH eram aferidos através de um pHmetro digital modelo PG 2000 GEHAKA (São Paulo, SP, Brasil). As substâncias eram pesadas em balança analítica modelo AG200 e os animais em balança semi-analítica ambas da GEHAKA (São Paulo, SP, Brasil) (Figura 5)





C



Ε



Figura 4. Aparelhos utilizados para o registro de contrações: aparato para registro das contrações isotônicas com cilindro esfumaçado de um quimógrafo (**A**), transdutor de força FORT-10 (**B**), cuba de banho para órgão isolado (**C**), sistema de banho para órgão isolado com transdutor de força isométrico TIM-50 (**D**), amplificador AECAD 04F (**E**) acoplado a sistema digital.





Figura 5. Fotos do pHmetro digital e da balança analítica.

3.2 MÉTODOS

3.2.1 Investigação do mecanismo de ação tocolítico de FGAL em útero isolado de rata

3.2.1.1 Caracterização do antagonismo da contração induzida por ocitocina.

As ratas eram tratadas 24 h antes do início dos experimentos com dietilestilbestrol (1 mg/kg s.c.) para indução do estro. Decorrido este tempo, eram eutanasiadas. Após abertura da cavidade abdominutosal, era feita a dissecação do útero, colocando-o em uma placa de Petri contendo solução nutritiva de Locke Ringer a 32 °C. Em seguida, os dois cornos uterinos eram separados por meio de uma incisão, abertos longitudinalmente e suspensos verticalmente em cubas de vidro (5 mL). Para estabilização da preparação, esta era mantida em repouso por 40 minutos antes do contato com qualquer agente, sob tensão de repouso de 1 g, efetuando, neste período, a renovação da solução nutritiva a cada 10 minutos. Após o período de estabilização, duas curvas concentração-resposta cumulativas similares à ocitocina (10⁻⁵ – 3 x 10⁻¹ M) eram obtidas. Em seguida, na ausência da ocitocina, FGAL era incubada por 15 minutos em diferentes concentrações e em experimentos independentes. Após este período, ainda na presença de FGAL, uma nova curva concentração-resposta cumulativa à ocitocina era obtida. Os resultados foram avaliados comparando-se a porcentagem da resposta contrátil na presença de FGAL com aquela obtida pela amplitude média das curvas controle na ausência do mesmo.

O tipo de antagonismo exercido por FGAL foi analisado com base nos valores da inclinação do gráfico de Schild (ARUNLAKSHANA; SCHILD, 1959)

e sua potência pelo valor do pD'₂, que é definido como logaritmo negativo (na base 10) da concentração molar de um antagonista que reduz a 50% uma resposta máxima de um agonista (VAN ROSSUM, 1963)

3.2.1.2 Efeito de FGAL sobre as contrações tônicas induzidas por KCI ou por ocitocina

O útero era montado como descrito no item 3.2.1.1. Após o período de estabilização, eram obtidas duas curvas concentrações-resposta de amplitude similares induzidas por 60 mM de KCI ou 10⁻² UI/mL de ocitocina, de amplitudes similares, em preparações diferentes, registrada através de transdutores isométricos acoplados a um sistema de aquisição digital. Durante a fase tônica sustentada da segunda resposta, FGAL era adicionada cumulativamente à cuba.

O relaxamento produzido foi expresso como a percentagem reversa da contração inicial produzida pelos agentes contráteis. O pD₂ foi obtido a partir dos valores de CE₅₀ (calculados pelo uso da regressão não linear de cada curva concentração-resposta de relaxamento para FGAL) de cada um dos experimentos.

3.2.2 Avaliação do envolvimento dos canais para cálcio no mecanismo de ação tocolítico de FGAL

3.2.2.1 Efeito de FGAL sobre o influxo de Ca²⁺ em meio despolarizante nominutosalmente sem cálcio

O útero era montado como descrito no item 3.2.1.1. O tecido permanecía em repouso por 40 minutosutos em contato com a solução de Locke Ringer que era substituída pela solução Locke Ringer nominutosalmente sem Ca²⁺ também por 40 minutosutos e, logo em seguida, era adicionado 60 mM de KCI por 10 minutosutos. Assim, eram induzidas duas curvas cumulativas ao CaCl₂ de magnitudes similares (curvas controle). As contrações isotônicas eram registradas por uma alavanca de inscrição frontal em cilindros esfumaçados de um quimógrafo (DTF, Brasil). Após estas respostas, as preparações eram lavadas e FGAL era incubada por 15 minutosutos em preparações diferentes. Após este período, uma terceira curva cumulativa ao CaCl₂ era obtida ainda na presença de

FGAL em concentrações diferentes e independentes. O tipo de antagonismo exercido pelo flavonoide foi analisado com base na análise de Schild (Arunlakshana & Schild, 1959).

3.2.3 Avaliação do envolvimento dos canais para potássio no mecanismo de ação tocolítico de FGAL

3.2.3.1 Efeito de FGAL sobre as contrações tônicas induzidas por ocitocina, na ausência e na presença de cloreto de césio (CsCl)

O útero era montado como descrito no item 3.2.1.1. Após o período de estabilização, eram obtidas duas curvas concentração-resposta de amplitude similar com 10⁻² UI/mL de ocitocina, em preparações diferentes, antes da segunda curva concentração-resposta o CsCl 5 mM, bloqueador não seletivo dos canais para potássio, era incubado por 20 minutos (LATORRE et al., 1989). Durante a fase tônica sustentada da segunda contração, FGAL era adicionado cumulativamente à cuba. O relaxamento produzido por FGAL foi expresso como a percentagem reversa da contração inicial induzida pela ocitocina. Os valores de pD2 foram calculados a partir das curvas concentrações-resposta, na ausência e na presença de 5 mM de CsCl.

3.2.3.2 Efeito de FGAL sobre as contrações tônicas induzidas por ocitocina, na ausência e na presença de 4-aminutosopiridina (4-AP), glibenclamida, apaminutosa, tetraetilamônio (TEA⁺).

O útero era montado como descrito no item 3.2.1.1. O tecido permanecia em repouso por 40 minutos em contato com a solução de Locke Ringer. Após este período era induzida uma contração pela adição de 10^{-2} UI/mL de ocitocina e sobre o componente tônico da contração era adicionando FGAL de forma cumulativa (curva controle). Em outro experimento, era adicionado à cuba 3 mM de 4-AP, um bloqueador dos canais para potássio abertos por voltagem (K_V) (AARONSON et al., 2006), 3 x 10^{-5} M de glibenclamida, um bloqueador dos canais para potássio sensíveis ao ATP (K_{ATP}) (HUGHEST; HOLLINGSWORTH, 1997), 100 nM de apaminutosa, um bloqueador de canais para potássio de pequena condutância ativados pelo Ca²⁺ (SK_{Ca}) (TSAI et al., 1998), 1 mM de

tetraetilamônio (TEA⁺), que nessa concentração é um bloqueador seletivo dos canais para potássio de grande condutância ativados pelo Ca²⁺ (BK_{Ca}) (HUANG, 1998, MURRAY et al., 1991) por 20 minutos. Após esse período uma nova contração era obtida pela adição de 10⁻² UI/mL de ocitocina era induzida na presença desses bloqueadores. Durante a fase tônica sustentada da segunda contração, FGAL era adicionado cumulativamente à cuba, em preparações diferentes. O relaxamento produzido pelo FGAL foi expresso como a percentagem reversa da contração inicial induzida pela ocitocina. Os valores de pD₂ foram calculados como descrito anteriormente.

3.2.4 Investigação da participação dos nucleotídios cíclicos no mecanismo de ação tocolítico do FGAL

3.2.4.1 Efeito do FGAL sobre as contrações tônicas induzidas por ocitocina, na ausência e na presença de aminutosofilina

O útero era montado como descrito no item 3.2.1.1. Após o período de estabilização, eram obtidas duas curvas concentração-resposta de amplitude similar com 10⁻² UI/mL de ocitocina Em seguida, antes da segunda contração, a preparação era incubada por 20 minutos com 10⁻⁴ M de aminutosofilina, inibidor inespecífico das enzimas fosfodiesterases (URUNO et al., 1974) e, ainda na sua presença, uma nova contração induzida por ocitocina era obtida. Em seguida, FGAL era adicionado cumulativamente sobre a fase tônica da contração. O relaxamento foi expresso como a percentagem reversa da contração inicial produzida pelo agente contrátil na ausência e na presença da aminofilina. Os valores de pD₂ foram calculados como descrito anteriormente.

3.2.5 ANÁLISE ESTATÍSTICA

Todos os resultados foram expressos como a média \pm o e.p.m. e analisados estatisticamente empregando-se o teste t não pareado ou análise de variância (ANOVA) "one-way" seguido do teste de Bonferroni, onde valores de p < 0.05 foram considerados significantes.

Os valores de pD₂ logaritmo negativo (na base 10) da concentração em molar de uma substância que produz 50% do seu efeito máximo foram

calculados por regressão não linear para todos os experimentos realizados (NEUBIG et al., 2003).

A inclinação do gráfico de Schild, que provê informação sobre a natureza do antagonismo, foi calculada por regressão linear baseada nas equações de Schild (ARUNLAKSHANA; SCHILD, 1959), onde foram usados os valores de log(DR-1) em função do log das concentrações da substância testada. Também foram calculados os valores de r² (coeficiente de regressão linear) que provê informações sobre a correlação concentração-resposta e os valores de pD'2 (parâmetro de potência do antagonista), obtidos por regressão linear.

Todos os dados foram analisados pelo programa GraphPad Prism[®] versão 5.01 GraphPad Software Inc. (San Diego, CA, USA).

Resultados

4 RESULTADOS

4.1 Investigação do mecanismo de ação tocolítico de FGAL em útero isolado de rata

4.1.1 Característica do antagonismo da contração induzida por ocitocina

FGAL, nas concentrações de 10^{-6} M, 3×10^{-6} M e 10^{-5} M, inibiu de maneira dependente de concentração ($r^2 = 0.95 \pm 0.01$) as contrações cumulativas induzidas por ocitocina em útero isolado de rata com desvio da curva controle para a direita de maneira não paralela e com redução do E_{max} (Gráfico 1). A análise do gráfico de Schild (Gráfico 1B e 2B) indica um antagonismo do tipo não competitivo exercido por FGAL que foi confirmado pelo valor de "slope" = 0.15 ± 0.04 que diferiu significantemente da unidade para ocitocina. A potência de FGAL em antagonizar as contrações cumulativas induzidas por ocitocina foi determinada pelo valor de $pD'_2 = 3.4 \pm 0.1$.

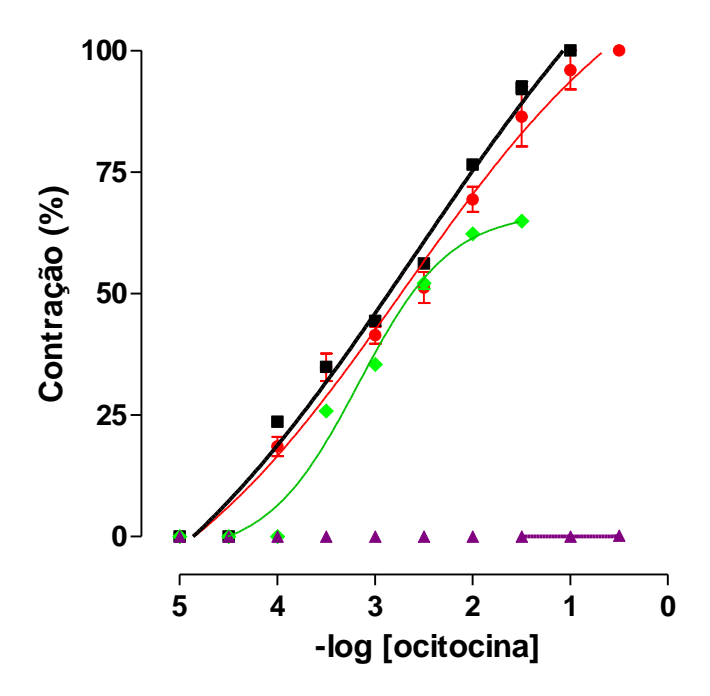


Gráfico 1. Curvas concentrações-resposta cumulativas a ocitocina na ausência (■) e na presença de FGAL nas concentrações de 10^{-6} (●), 3×10^{-6} (♦) $e10^{-5}$ M (▲) em útero isolado de rata (n = 5). Os símbolos e as barras verticais representam a média e o e.p.m., respectivamente. ANOVA "one-way" seguido por Bonferroni, ***p < 0.001 (controle vs. FGAL).

4.1.2 Efeito de FGAL sobre as contrações tônicas induzidas por ocitocina ou KCI

FGAL $(10^{-9} - 10^{-4} \, \text{M})$ induziu relaxamento de maneira significante $(pD_2 = 5,6 \pm 0,06)$ e dependente de concentração $(r^2 = 0,94)$ no útero précontraído por 60 mM de KCI, (n = 5). Da mesma forma, FGAL $(10^{-9} - 10^{-4} \, \text{M})$ relaxou de maneira significante $(pD_2 = 6,9 \pm 0,1)$ e dependente de concentração $(r^2 = 0.97)$ o útero pré-contraído por $10^{-2} \, \text{UI/mL}$ de ocitocina (Gráfico 2) No entanto, FGAL mostrou-se cerca de 20 vezes mais potente em relaxar o útero pré-contraído com ocitocina quando comparado com KCI. Em até 45 minutos após a retirada de FGAL da cuba, os agentes contráteis produziram contrações com a mesma amplitude em relação a contração inicial, indicando que o efeito do flavonóide é reversível neste órgão.

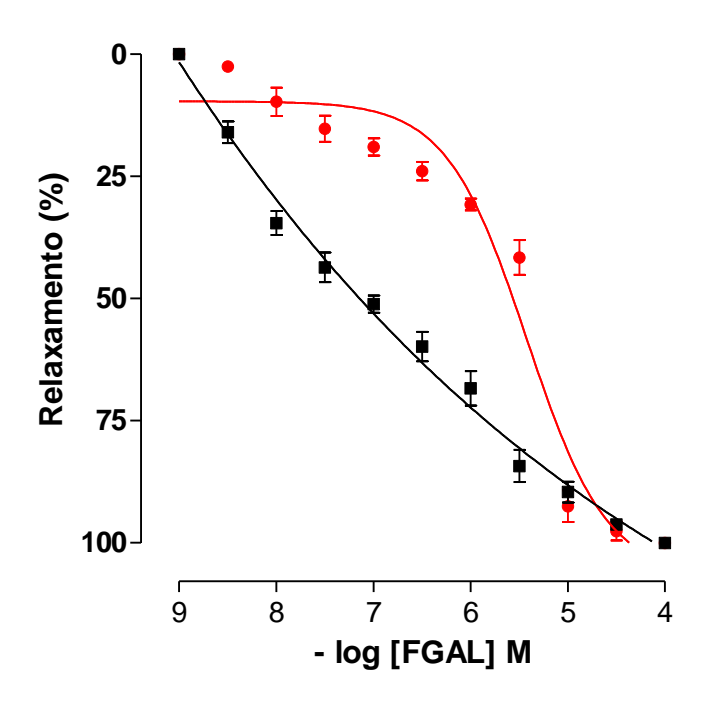


Gráfico 2. Efeito de FGAL sobre as contrações tônicas induzidas por 10⁻² UI/mL de ocitocina (■) e 60 mM de KCI (●) em útero isolado de rata (n = 5). Os símbolos e as barras verticais representam a média e o e.p.m., respectivamente.

4.2 Avaliação do envolvimento dos canais para cálcio no mecanismo de ação tocolítico de FGAL

4.2.1 Efeito de FGAL sobre as contrações cumulativas induzidas por Ca²⁺ em meio despolarizante nominalmente sem cálcio

FGAL, nas concentrações de 10^{-6} , 3×10^{-6} , 10^{-5} , 3×10^{-5} M, antagonizou as contrações induzidas cumulativamente ao $CaCl_2$ em meio despolarizante (60mM de KCI) e nominalmente sem Ca^{2+} em útero isolado de rata. O que foi evidenciado pelo desvio da curva controle (Grafico 3) para a direita de maneira não paralela e com diminuição do efeito máximo ($E_{max} = 100\%$; $86,6\% \pm 1,2$; $23,3\% \pm 1,5$) na presença de diferentes concentrações de FGAL.

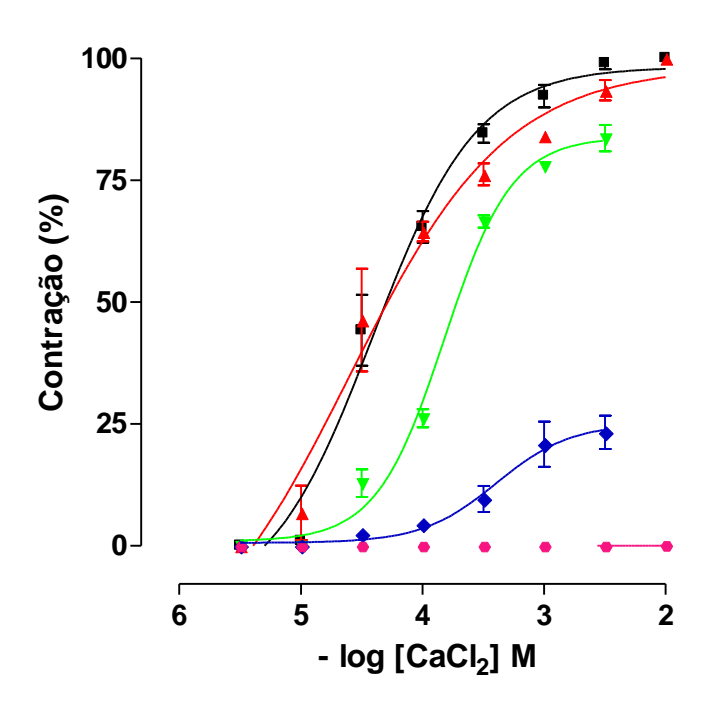


Gráfico 3. Curvas concentrações-resposta cumulativas ao CaCl₂ na ausência (■) e na presença de FGAL nas concentrações de 10^{-6} (▲), 3×10^{-6} (▼), 10^{-5} M (♦) e 3×10^{-5} (•) M em útero isolado de rata (n = 5). Os símbolos e as barras verticais representam a média e o e.p.m., respectivamente. ANOVA "one-way" seguido por Bonferroni, ***p < 0,001 (controle vs. FGAL)

4.3 Avaliação do envolvimento dos canais para potássio no mecanismo de ação tocolítico de FGAL

4.3.1 Efeito de FGAL sobre as contrações tônicas induzidas por ocitocina na ausência e na presença de cloreto de césio (CsCl)

FGAL $(10^{-9}-10^{-4} \, \text{M})$ relaxou o útero isolado de rata pré-contraído com ocitocina na ausência $(pD_2=6.9\pm0.1)$ e na presença $(pD_2=5.6\pm0.01)$ de 5 mM de CsCl, um bloqueador não seletivo dos canais para potássio. A potência relaxante de FGAL foi reduzida significantemente cerca de vinte vezes (p<0.0001) quando comparada ao relaxamento produzido pelo flavonóide na ausência do CsCl (Gráfico 4). Tanto na presença como na ausência do bloqueador o valor de $E_{max}=100\%$ foi alcançado.

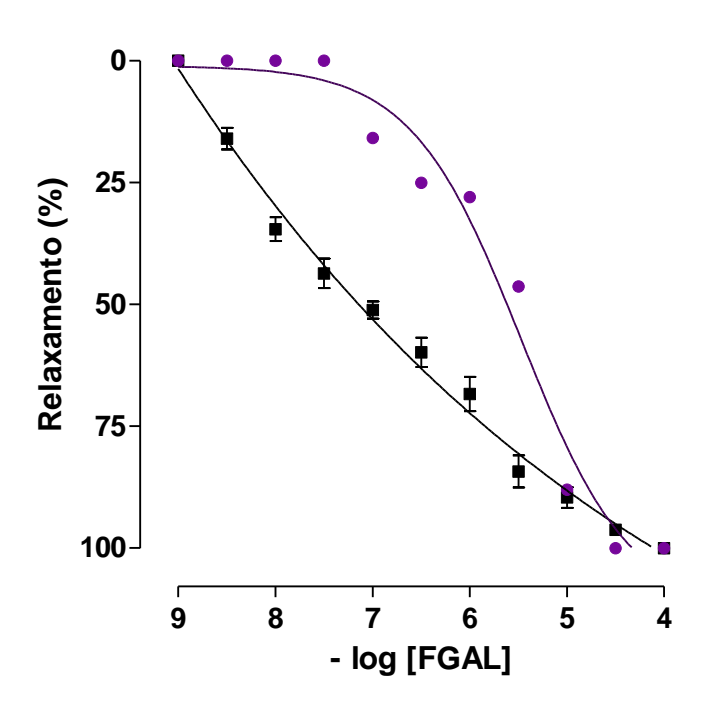


Gráfico 4. Efeito de FGAL sobre as contrações tônicas induzidas por 10⁻² UI/mL de ocitocina na ausência (■) e na presença (•) de 5 mM de CsCl, em útero isolado de rata (n = 5). Os símbolos e as barras verticais representam a média e o e.p.m., respectivamente.

4.2.2 Efeito de FGAL sobre as contrações tônicas induzidas por ocitocina na ausência e na presença de 4-aminopiridina (4-AP)

FGAL (3 x 10^{-7} – 10^{-4} M) relaxou o útero isolado de rata pré-contraído com ocitocina na ausência (pD₂ = 6,9 ± 0,1) e na presença (pD₂ = 5,4 ± 0,008) de 3 mM de 4-AP, um bloqueador seletivo dos canais para potássio sensíveis a voltagem (K_V). A potência relaxante de FGAL foi diminuída cerca de 30 vezes na presença de 4-AP (Gráfico 5). Tanto na presença como na ausência do bloqueador o valor de E_{max} = 100% foi atingido.

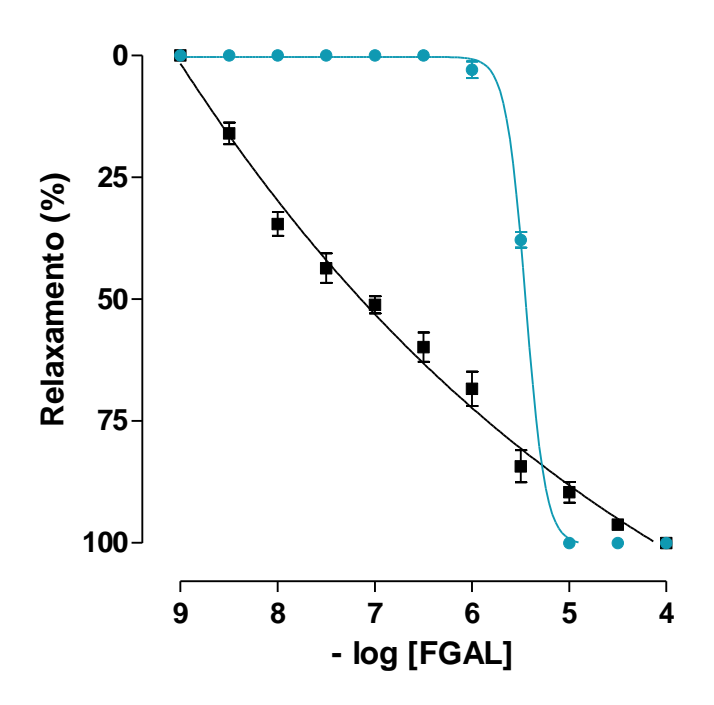


Gráfico 5. Efeito de FGAL sobre as contrações tônicas induzidas por 10⁻² UI/mL de ocitocina na ausência (■) e na presença (●) de 3 mM de 4-AP, em útero isolado de rata (n = 5). Os símbolos e as barras verticais representam a média e o e.p.m., respectivamente.

4.2.3 Efeito de FGAL sobre as contrações tônicas induzidas por ocitocina na ausência e na presença de glibenclamida

FGAL $(10^{-8}-3 \text{ x } 10^{-5} \text{ M})$ relaxou o útero isolado de rata pré-contraído com ocitocina na ausência $(pD_2 = 6.9 \pm 0.1)$ e na presença $(pD_2 = 5.3 \pm 0.009)$ de 3 x 10^{-5} M de glibenclamida, um bloqueador seletivo dos canais para potássio sensíveis ao ATP (K_{ATP}) . A potência relaxante de FGAL foi diminuída em torno de 30 vezes na presença de glibenclamida (Gráfico 6). Tanto na presença como na ausência do bloqueador o valor de $E_{max} = 100\%$ foi atingido.

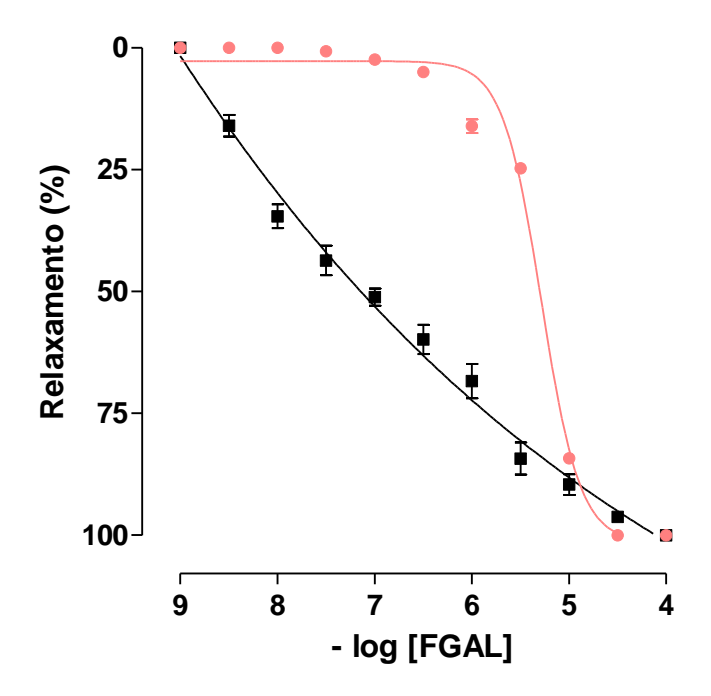


Gráfico 6. Efeito de FGAL sobre as contrações tônicas induzidas por 10⁻² UI/mL de ocitocina na ausência (■) e na presença (●) de 3 x 10⁻⁵ M de glibenclamida, em útero isolado de rata (n = 5). Os símbolos e as barras verticais representam a média e o e.p.m., respectivamente.

4.2.4 Efeito de FGAL sobre as contrações tônicas induzidas por ocitocina na ausência e na presença de apamina

FGAL (3 x $10^{-9} - 10^{-4}$ M) relaxou o útero isolado de rata pré-contraído com ocitocina na ausência (pD₂ = 6,9 ± 0,1) e na presença (pD₂ = 6,3 ± 0,02) de 100 nM de apamina, um bloqueador seletivo dos canais para potássio sensíveis ao cálcio de pequena condutância (SK_{Ca}). A potência relaxante de FGAL foi reduzida 4 vezes apenas quando comparada ao relaxamento produzido pelo flavonóide na ausência da apamina (Gráfico 7). Tanto na presença como na ausência do bloqueador o valor o E_{max} = 100% foi atingido na concentração de 10^{-4} M de FGAL .

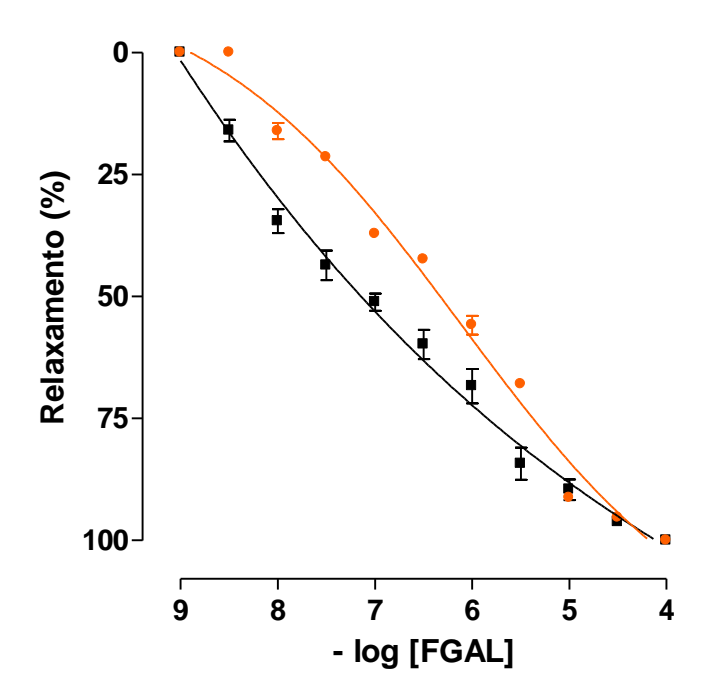


Gráfico 7. Efeito de FGAL sobre as contrações tônicas induzidas por 10⁻² UI/mL de ocitocina na ausência (■) e na presença (●) de 100 mM de apamina, em útero isolado de rata (n = 5). Os símbolos e as barras verticais representam a média e o e.p.m., respectivamente.

4.2.5 Efeito de FGAL sobre as contrações tônicas induzidas por ocitocina na ausência e na presença de tetraetilamônio (TEA+)

FGAL $(10^{-8}-10^{-4} \, \text{M})$ relaxou o útero isolado de rata pré-contraído com ocitocina na ausência $(pD_2=6.9\pm0.1)$ e na presença $(pD_2=5.0\pm0.08)$ de 1 mM de TEA⁺, um bloqueador seletivo dos canais para potássio grande condutância sensíveis ao cálcio (BK_{Ca}) . A potência relaxante de FGAL foi reduzida 88 vezes (p<0.05) quando comparada ao relaxamento produzido pelo flavonóide na ausência do tetraetilamônio (Gráfico 8). Tanto na presença como na ausência do bloqueador o valor do $E_{max}=100\%$ foi alcançado.

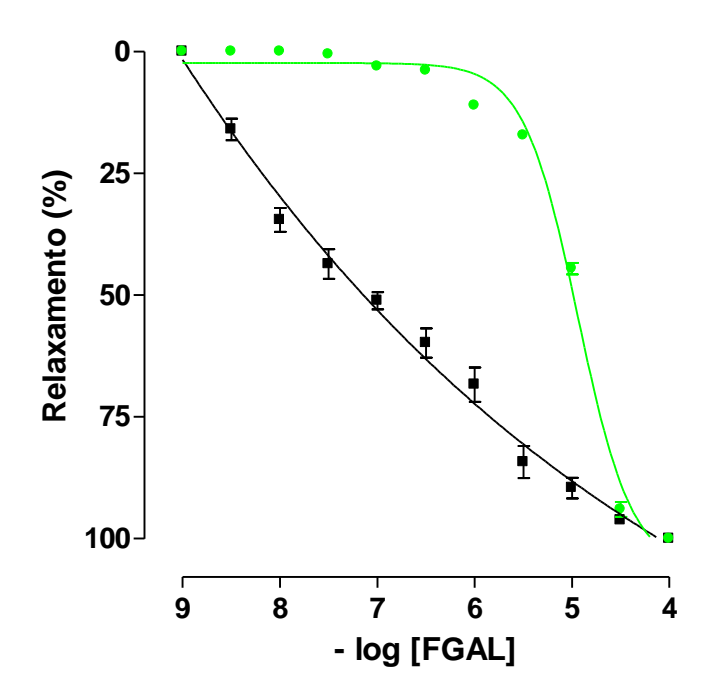


Gráfico 8. Efeito de FGAL sobre as contrações tônicas induzidas por 10⁻² UI/mL de ocitocina na ausência (■) e na presença (●) de 1 mM de TEA⁺, em útero isolado de rata (n = 5). Os símbolos e as barras verticais representam a média e o e.p.m., respectivamente.

Tabela 2. Valores de pD₂ e CE₅₀ de FGAL na ausência (controle) e na presença de diversos bloqueadores de canais para potássio.

Bloqueador	pD ₂
-	$6,9 \pm 0,1$
CsCl	$5,6 \pm 0,01$
4-aminopiridina	$5,4 \pm 0,008$
Glibenclamida	5.3 ± 0.009
Apamina	$6,3 \pm 0,02$
TEA ⁺	5.0 ± 0.008

<u>Discussão</u>

5 DISCUSSÃO

Evidenciou-se farmacologicamente neste trabalho que o flavonoide 3,6 dimetil éter (FGAL) isolado das partes aéreas de *Piptadenia stipulaceae* Benth Ducke, exerce seu efeito tocolítico em útero isolado de rata através da modulação positiva de canais para K^+ , mais especificamente os canais para K^+ de grande condutância ativados pelo cálcio (BK_{Ca}), os canais para K^+ de pequena condutância ativados pelo cálcio (SK_{Ca}), os canais para K^+ dependentes de voltagem (K_v) e os canais para K^+ sensíveis ao ATP (K_{ATP}), além da participação indireta dos canais de cálcio dependentes de voltagem (Ca_v).

Em estudos anteriores, Macêdo (2010) demonstrou que FGAL apresentou efeito tocolítico por inibir as contrações fásicas induzidas por ocitocina e carbacol. Apresentando-se mais potente em inibir as contrações fásicas induzidas por ocitocina. Desta forma, decidiu-se investigar o possível mecanismo de ação tocolítica de FGAL em útero isolado de rata.

Para confirmar ou descartar a hipótese de que FGAL estaria agindo em nível de receptor de ocitocina, decidiu-se caracterizar o bloqueio exercido pelo flavonoide frente às curvas concentrações-resposta cumulativas induzidas por ocitocina. Foi observado um desvio das curvas para direita, de forma não-paralela e com redução do E_{max} (Gráfico 1), sugerindo um antagonismo do tipo não-competitivo, concluindo que FGAL não está agindo em nível de receptores de ocitocina de maneira direta para promover seu efeito tocolítico.

O íon Ca²⁺ é o principal sinal responsável pela ativação da contração do músculo liso (NEERING; MORGAN, 1980; MORGAN; MORGAN, 1982) sendo responsável também por desencadear uma variedade de processos celulares nos neurônios, músculos e muitas células não-excitáveis tendo como função mais importante a sinalização celular (BERRIDGE; DUPONT, 1995; BERRIDGE, 1997; BERRIDGE; BOOTMAN; LIPP, 1998, BERRIDGE; LIPP; BOOTMAN, 2000; BOOTMAN; LIPP; BERRIDGE, 2001; SCHUSTER; MARHL; HÖFER, 2002).

A contração do músculo liso é disparada principalmente pelo aumento da [Ca²⁺]_c, e pode ser alcançada tanto via despolarização de membrana, levando ao aumento da [Ca²⁺]_c através dos canais para cálcio dependentes de voltagem (Ca_V), como pela ligação do agonista a um receptor, que pode ser independente do potencial de membrana (SOMLYO; SOMLYO, 2003), originalmente designados por acoplamentos eletromecânico e fármaco-mecânico.

respectivamente (SOMLYO; SOMLYO, 1968). Agonistas como a ocitocina ligamse a receptores acoplados à proteína G (GPCRs) e ativam a cascata de fosfoinositídios, usualmente através da produção de IP₃ mediada pelas proteínas G_q e G₁₁, estimulando, assim a liberação de Ca²⁺ do retículo sarcoplasmático (RS) (FUKATA; AMANO; KAIBUCHI, 2001). Os agonistas contráteis podem também elevar a [Ca²⁺]_c através de receptores de rianodina e estimular a entrada de Ca²⁺ através dos múltiplos tipos de canais (SANDERS, 2001; McFADZEAN; GIBSON, 2002).

A principal porta de entrada para o Ca²⁺ que vem do meio extracelular são os canais de cálcio operados por voltagem (Ca_V) (CATTERRALL, 2000), os quais estão presentes na membrana celular da maioria das células excitáveis (ALEXANDER; MATHIE; PETERS, 2007).

São canais iônicos proteicos formados por 4 ou 5 subunidades distintas: a subunidade α_1 , que é a maior delas e constitui o poro do canal, além de possuir o sensor de voltagem que controla sua abertura; a subunidade α_2 que esta ligada a subunidade γ e a subunidade β que é intracelular (CATTERALL et al., 2005)

Vários agentes contráteis causam uma resposta contrátil bifásica no músculo liso, consistindo em uma contração inicial transiente – componente fásico, seguido por uma contração sustentada – componente tônico, que se desenvolve lentamente e é mantida durante o período de exposição principalmente pelo influxo do Ca²⁺ pelos Ca_V (VAN BREEMEN; AARONSON; LOUTZENHISER, 1979; BOLTON, 1979).

Tendo em vista que os mecanismos envolvidos na manutenção da fase tônica da contração serem diferentes em relação aos da fase fásica (ABDELLATIF, 1989; KOBAYASHI et al., 1989; HONDA; TAKANO; KAMIYA, 1996), resolveu-se então verificar se FGAL promoveria o relaxamento do útero pré-contraído com ocitocina e KCI.

Como a abertura dos Ca_V é um dos passos comum às vias de sinalização da ocitocina e do KCI com conseqüente influxo de Ca^{2+} , resultando na manutenção da fase tônica da contração (WRAY, 1993), levantou-se a hipótese de que FGAL poderia estar agindo por bloqueio do influxo de Ca^{2+} através dos Ca_V visto que houve relaxamento do músculo liso uterino na presença de FGAL tanto quando pré- contraído com ocitocina como por KCI (Gráfico 2).

Como mostra o gráfico 2, FGAL relaxou de maneira significante o útero pré-contraído com KCI (pD $_2$ = 5,6 ± 0,06), assim como ocitocina (pD $_2$ = 6,9 ± 0,1) (E $_{max}$ = 100%) e de maneira dependente de concentração sendo mais potente cerca de 20 vezes quando o órgão era pré-contraído com ocitocina. O fato de FGAL relaxar o útero pré-contraído com KCI 60 mM e ocitocina é sugestivo de que o mecanismo de ação espasmolítica do mesmo envolva bloqueio direto dos Ca $_{V}$.

Para confirmar a hipótese de que FGAL estaria bloqueando os Ca_v diminuindo o influxo Ca²⁺ e levando o útero ao relaxamento, decidiu-se caracterizar o provável bloqueio exercido pelo flavonoide frente às curvas concentrações-resposta cumulativas induzidas por CaCl₂ em meio despolarizante e nominalmente sem Ca²⁺. Foi observado um desvio das curvas para direita, de forma não-paralela e com redução do E_{max} (Gráfico 3), caracterizando um antagonismo do tipo não-competitivo, sugerindo que o relaxamento induzido por FGAL envolve o bloqueio indireto dos Ca_v em nível funcional.

Os canais de potássio desempenham um papel chave na regulação do potencial de membrana e na excitabilidade celular, sendo a contração no músculo liso dependente do balanço entre o aumento da condutância ao íon K⁺, levando a uma hiperpolarização, e a diminuição da condutância ao K⁺, levando a uma despolarização (KNOT et al., 1996).

Os abridores de canais de K⁺ são substâncias que incluem um grupo de diversas moléculas com um largo potencial terapêutico (QUEST, 1992; EMPFIELD; RUSSELL; TRAINOR, 1995). Estes compostos abrem os canais de K⁺, causando hiperpolarização de membrana através do aumento do efluxo de K⁺, desta forma causando diminuição do Ca²⁺ intracelular livre e consequente relaxamento do músculo liso (QUEST; COOK, 1989; WESTON; EDWARDS, 1992).

Eles estão envolvidos em várias funções fisiológicas, tais como, potencial de membrana celular, secreção de hormônios e de neurotransmissores. Sua atividade pode ser regulada por voltagem, Ca²⁺, por neurotransmissores e conseqüentemente as vias de sinalização que eles estimulam, estímulos químicos e físicos, incluindo a tensão de oxigênio, pH, lipídios, estiramento mecânico, GPCRs, entre outros estímulos (LESAGE; LAZDUNSKI, 2000; ALEXANDER; MATHIE; PETERS, 2007). O movimento dos íons K⁺ através de canais

localizados na membrana regulam indiretamente o influxo de Ca²⁺ através dos Ca_V (THORNELOE; NELSON, 2005).

A associação entre o aumento da atividade dos canais para K⁺ e o relaxamento do músculo liso vem sendo estudada em vários tecidos. Alguns autores apresentam evidências da participação de vários canais para K⁺ na regulação do músculo liso, tanto em nível funcional como em nível eletrofisiológico, como por exemplo: K_v em íleo de cobaia (LIMA, 2004; CAVALCANTE, 2008) e aorta de rato (RIBEIRO et al., 2007a). BK_{Ca} em íleo de cobaia (SILVA; NOUAILHETAS; ABOULAFIA, 1999; CAVALCANTE, 2001; CAVALCANTE, 2008; LIMA, 2008), músculo longitudinal de íleo de cobaia (UYAMA; IMAIZUMI; WATANABE, 1993), traquéia de cobaia (HIRAMATSU et al., 1994, RIBEIRO, 2007), artéria mesentérica de rato (OLIVEIRA et al., 2004), traquéia de cão (WADE; SIMS, 1993), traquéia de porco (KUME et al., 1994; KANNAN: JOHNSON, 1995; YAMAKAGE: HIRSHMAN: CROXTON, 1996), útero de rata (LIMA, 2008, TRAVASSOS et al. 2009), aorta de coelho (DEMIREL et al., 1994), artérias submucosas e mesentéricas de cobaia (HILL et al., 1997) e no miométrio humano (ANWER et al., 1993, MEERA et al., 1995). SK_{Ca} em íleo de cobaia (CAVALCANTE, 2008, MACÊDO, 2008), útero de rata (SILVA; OKUYAMA; PAIVA, 1996) e em aorta de rato (SILVA et al., 1994). KATP em íleo de cobaia (CAVALCANTE, 2008, MACÊDO, 2008), traquéia de cobaia (SHIKADA; TANAKA, 1995), músculo longitudinal de íleo de rato (DAVIES; McCURRIE; WOOD, 1996) e de cobaia (SUN: BENISHIN, 1994), em uretra de cobaia (TERAMOTO: BRADING: ITO, 1999) e em traquéia de gato (TERAMOTO; NAKASHIMA; ITO, 2000).

O efluxo de potássio em células miometriais resulta em repolarização de membrana e este efluxo é a corrente iônica primária responsável pela manutenção do potencial de repouso no útero (BRAINARD; KOROVKINA; ENGLAND, 2007).

No músculo liso uterino, os mais abundantes e mais bem estudados canais para K^+ são: K_V ; BK_{Ca} ; SK_{Ca} ; K_{ATP} (BRAINARD; KOROVKINA; ENGLAND, 2007). Substâncias que abrem os canais de K^+ , compreendem um grupo diverso de moléculas com um amplo uso terapêutico (EMPFIELD et al., 1995). Esses compostos abrem os canais de K^+ , causando hiperpolarização através do aumento do efluxo de K^+ e conseqüente redução da $[Ca^{2+}]_c$ seguido de relaxamento do músculo liso (QUEST; COOK, 1989)

No presente estudo, a participação dos canais para K⁺ no efeito tocolítico do flavonoide foi investigada em nível funcional, utilizando-se bloqueadores desses canais como ferramentas farmacológicas. Uma vez que a potência relaxante de FGAL na presença de CsCl, bloqueador não seletivo dos canais para K⁺, foi reduzida significativamente em aproximadamente 20 vezes, ocorrendo um desvio da curva de relaxamento de FGAL para direita no útero pré-contraído com ocitocina é sugestivo de que haja a participação de canais para K⁺ no mecanismo de ação tocolítica do flavonoide em útero isolado de rata (Gráfico 4).

Os canais para K⁺ sensíveis a voltagem (K_V) são amplamente expressos no músculo liso uterino. Cada canal é composto de quatro subunidades, sendo que cada subunidade (S) possui seis regiões hidrofóbicas (S1-S6), que formam o domínio transmembrana. Essas regiões hidrofóbicas são ligadas por seqüências de aminoácidos hidrofílicos, os quais são expostos no espaço intra- ou extracelular. Cada subunidade contém um domínio carboxi- e amino-terminal citoplasmático. A região S4 é carregada, contendo um aminoácido básico (lisina ou arginina) a cada três resíduos, sendo essa região um importante componente do sensor de voltagem. A via de permeação do canal é formada, em parte, pela região de ligação das seqüências transmembrana S5 e S6 e é chamada de H5 ou região do poro (JAN; JAN, 1992)

É fundamentado na literatura que os K_V contribuem para o potencial de repouso nesta células, uma vez que em resposta a despolarização, o efeluxo de K⁺ através destes canais induz repolarização das células para restabelecer o potencial de repouso no músculo liso uterino (BRAINARD; KOROVKINA; ENGLAND, 2007). Dessa forma, levantou-se a hipótese de que FGAL poderia estar induzindo o efeito tocolítico por ativação dos K_V que ao repolarizar a membrana levaria indiretamente ao bloqueio do influxo de Ca²⁺ via Ca_V e por fim ao relaxamento muscular liso. Para confirmar ou descartar essa hipótese, resolveu-se avaliar o efeito relaxante de FGAL na presença e na ausência da 4-AP, um bloqueador seletivo dos K_V, e o observado foi que há a participação dos K_V no mecanismo de ação tocolítica de FGAL, uma vez que na presença de 4-AP a potência relaxante do flavonoide foi diminuída cerca de 30 vezes (Gráfico 5).

Os canais para K⁺ sensíveis ao ATP (K_{ATP}) estão presentes em vários tipos de músculos lisos. Estes canais tem como principal característica a sua abertura ser inibida por concentrações basais de ATP intracelular, por

sulfoniluréias e por baixas concentrações de Ba²⁺ (STANDEN et al., 1989; SANBORN, 2000). No entanto, sabe-se que existem subtipos de K_{ATP} que são relativamente insensíveis aos níveis basais de ATP, mas são bloqueados seletivamente pela glibenclamida, utilizada na terapêutica no tratamento de diabetes tipo 2 (MISHRA; AARONSON, 1999).

Os K_{ATP} são um complexo de pelo menos duas proteínas. A estequiometria destes canais consiste de um tetrâmero de subunidades Kir6.0 (principalmente Kir6.1 e Kir6.2), que forma o poro do canal, rodeada de quatro proteínas SUR. Para formar um canal funcional, ambas as subunidades SUR e Kir6.1 ou Kir6.2 são essenciais, já que nenhum canal é formado quando essas proteínas são expressas sozinhas. São as subunidades SUR que conferem ao canal sensibilidade às sulfoniluréias e aos abridores do canal, como o diazóxido, e uma vez que essas subunidades possuem o domínio de ligação de nucleotídios, elas também conferem sensibilidade ao ATP (STANDEN, 1997). A isoforma predominante dos K_{ATP} em células miometriais é a K_{ir}6.1/SUR2B, apesar da isoforma K_{ir}6.2/SUR1 também já ter sido evidenciada (CHIEN et al.,1999; CURLEY et al., 2002). Os ativadores dos K_{ATP} diminuem as contrações uterinas, no entanto, eles são mais potentes em miométrio humano não grávido do que em grávido (SANBORN, 2000).

Para avaliar se os K_{ATP} estariam participando do mecanismo de ação espasmolítica de FGAL em útero isolado de rata, avaliou-se o efeito do flavonoide na presença de glibenclamida, inibidor seletivo destes canais, e observou-se que a curva de relaxamento induzida pelo flavonoide no útero pré-contraído com ocitocina foi alterada na presença de glibenclamida (Gráfico 6), sugerindo que esse tipo de canal para K⁺ está participando do efeito tocolítico promovido pelo FGAL, visto que sua potência foi diminuída cerca de 30 vezes na presença do bloqueador.

Os canais para K⁺ ativados por Ca²⁺ (K_{Ca}) contribuem para a repolarização do potencial de ação e são divididos em três grandes famílias com base em suas condutâncias, cinética e farmacologia (SAH; FABER, 2002): 1) SK_{Ca}, são bloqueados por apamina; 2) canais para K⁺ de condutância intermediária ativados por Ca²⁺ (IK_{Ca}) bloqueados pelo clotrimazole, e 3) BK_{Ca} que são bloqueados por toxinas, como caribdotoxina e iberiotoxina, ou por baixas concentrações de TEA⁺. Os canais do tipo SK_{Ca} e IK_{Ca} são insensíveis à voltagem e ativados por baixa concentração de Ca²⁺ citosólico (< 1,0 μM), em contraste aos

 BK_{Ca} que são ativados tanto por voltagem como por Ca^{2+} (WEI et al., 2005). Os BK_{Ca} são encontrados em cérebro, cóclea, músculo esquelético e músculo liso. Já os SK_{Ca} são largamente encontrados em cérebro, coração e alguns tipos de músculo liso. Enquanto que os IK_{Ca} estão presentes na placenta, próstata, linfócitos, pâncreas e endotélio vascular (WEI et al., 2005).

Os canais K_{Ca} foram subdivididos da seguinte forma: no grupo dos BK_{Ca} são chamados de K_{Ca} 1.1 (WEI et al., 2005), enquanto que no grupo dos SK_{Ca} estão incluídos os K_{Ca} 2.1, 2.2 e 2.3 (KOHLER et al., 1996), e os IK_{Ca} passaram a ser chamados de K_{Ca} 3.1 (ISHII et al., 1997; JOINER et al., 1997). Três outros membros deste grupo, K_{Ca} 4.1; 4.2 e 5.2 (JOINER et al., 1997; SCHREIBER et al., 1998; YUAN et al., 2003), foram incluídos no grupo dos K_{Ca} 4.1 uma vez que todos apresentam uma semelhança estrutural (WEI et al., 2005), apesar de não serem ativados por Ca^{2+} . Os canais K_{Ca} 4.2 e K_{Ca} 4.1 são ativados pelo Na^+ e CI^- intracelular (YUAN et al., 2003), enquanto o K_{Ca} 5.1 é sensível ao pH (SCHREIBER et al., 1998).

Os canais $K_{Ca}1.1$ são encontrados em cérebro, cóclea, músculo esquelético e músculo liso. Já os $K_{Ca}2.1$; 2.2 e 2.3 são largamente encontrados em cérebro, coração e alguns tipos de músculo liso. Enquanto que os $K_{Ca}3.1$ estão presentes na placenta, próstata, linfócitos, pâncreas e endotélio vascular (WEI et al., 2005).

Os canais SK_{Ca} geram uma corrente hiperpolarizante em células excitáveis após a geração do potencial de ação, e assim levam ao relaxamento do músculo liso (BRAINARD; KOROVKINA; ENGLAND, 2007). Os SK_{Ca} estão constitutivamente associados a calmodulina, que medeia a abertura do canal através da ligação com o cálcio (XIA et al., 1998).

Para avaliar uma possível participação dos SK_{Ca} no efeito tocolítico induzido por FGAL, observamos o relaxamento na presença de apamina (AP), um bloqueador seletivo dos SK_{Ca}. Caso essa hipótese fosse verdadeira o relaxamento do útero de rata induzido pelo flavonoide deveria ser atenuado na presença de apamina, um bloqueador seletivo dos SK_{Ca}. O fato da curva de relaxamento produzida por FGAL ter sido deslocada para a direita na presença de apamina e ter reduzido sua potência em torno de 4 vezes (Gráfico 7) sugere que FGAL esteja promovendo seu efeito tocolítico através de uma modulação positiva desses canais.

Os canais BK_{Ca} são um dos canais iônicos mais estudados no músculo liso do útero devido a sua abundância e significativa corrente de repolarização. Poucos canais BK_{Ca} precisam ser ativados para produzir relaxamento uterino, assim, estes canais podem ter efeitos profundos sobre a atividade miometrial, impedindo assim as contrações uterinas e, conseqüentemente disfunções como dismenorreia e abortos (BRAINARD; KOROVKINA; ENGLAND, 2007).

Os canais BK_{Ca} são compostos de quatro subunidades α e quatro subunidades β . A subunidade α é a porção formadora do poro do canal e consiste de 11 domínios hidrofóbicos (S0-S10). O domínio transmembrana (S0-S6) constitui o núcleo da subunidade α com uma cauda NH₂ terminal. Os quatro demais domínios (S7-S10) são localizados no citoplasma e forma a cauda COOH terminal da proteína. As subunidades α podem associar-se com diferentes subunidades β , o que explica diferentes propriedades dos BK_{Ca} em diferentes tecidos. A subunidade β é composta por dois domínios transmembrana com uma grande alça extracelular, e as caudas NH₂ e COOH terminais localizadas no citoplasma. (PAULSON; NEWMAN, 1987; BOYLE et al., 1992). As propriedades fisiológicas dos BK_{Ca}, incluindo a sensibilidade ao Ca²⁺, são moduladas pelas subunidades β acessórias. As estimativas da sua densidade média, em músculo liso variam entre 1 a 4 canais/ μ m² (BENHAM; BOLTON, 1986; SINGER; WALSH JR. 1987; PEREZ et al., 1999).

Diante dos expostos, passou-se a investigar se FGAL estaria agindo sobre os canais BK_{Ca}, ativando-os, e conseqüentemente levando a uma repolarização de membrana que levaria indiretamente ao fechamento dos Ca_V. Em presença de 1 mM de TEA⁺, uma concentração essa específica para bloquear apenas os BK_{Ca} (LATORRE et al., 1989; KNOT; BRAYDEN; NELSON, 1996), a curva de relaxamento promovida por FGAL foi desviadas para direita (Gráfico 8) tendo sua potência relaxante diminuída em 88 vezes quando comparada com a curva de relaxamento na ausência deste bloqueador. Estes dados demonstram que o relaxamento produzido pelo flavonoide em útero isolado de rata está associado à abertura dos BK_{Ca}, os quais contribuem em 30% com a manutenção do potencial de repouso no músculo liso uterino no tocante a repolarização ou hiperpolarização de membrana, levando a um bloqueio indireto dos Ca_V, consequente diminuição de [Ca²⁺]_c e relaxamento uterino (Ledoux et al., 2006).

Desta forma podemos sugerir que FGAL pode estar atuando em útero de rata através de uma modulação positiva de canais K_{Ca} , mais especificamente os K_{ATP} , K_V , SK_{Ca} e BK_{Ca} , o que poderia levar a uma repolarização de membrana das células musculares de útero de rata, consequentemente redução do influxo de Ca^{2+} via Ca_V , reduzindo assim a $[Ca^{2+}]_c$ e produzindo relaxamento deste órgão.

O relaxamento da muscultura lisa pode ocorrer também devido a uma modulação positiva dos canais de K⁺ pela proteína cinase dependente de AMPc (PKA) ou proteína cinase dependente de GMPc (PKG). Entre os canais de K⁺ modulados positivamente pela PKA destaca-se os K_v, BK_{Ca}, K_{ATP} e K_{ir}. Outros ensaios farmacológicos mostram que a PKG pode modular positivamente os BK_{Ca} e os K_{ATP}. Essa modulação promove abertura desses canais, com conseqüente efluxo do íon K⁺ e hiperpolarização a qual leva ao bloqueio de Ca_v e, portanto, relaxamento do músculo liso (KO et al., 2008).

Dessa forma, um aumento nos níveis de AMPc e GMPc promove relaxamento do músculo liso (KOMAS, N.; LUGNIER, C.; STOCLET, J-C, 1991). Na maioria dos tecidos, as concentrações e, portanto, as ações desses nucleotídeos cíclicos são reguladas por enzimas chamadas de fosfodiesterases (PDEs).

As fosfodiesterases (PDEs) estão amplamente distribuídas em vários tecidos de mamíferos, incluindo o músculo liso uterino, sendo distribuídas em 11 famílias distintas (PDE1-11) e tendo como função a hidrólise do AMPc (3',5'-monofosfato cíclico de adenosina) e do GMPc (3',5'-monofosfato cíclico de guanosina) resultando em seus produtos inativos, o 5'-AMP e o 5'-GMP, que não mais são capazes de ativar, respectivamente, a PKA (proteína cinase dependente de AMPc) e a PKG (proteína cinase dependente de GMPc), cessando assim a sinalização celular dependente do aumento destes nucleotídios cíclicos (LUGNIER, 2006).

Substâncias capazes de aumentar o conteúdo intracelular de AMPc ou GMPc tem seu efeito relaxante potencializado pela inibição das PDEs em vários tecidos, devido a um acúmulo do conteúdo total desses nucleotídios (BENDER; BEAVO, 2006; LUGNIER, 2006).

Para confirmar ou descartar esta hipótese de que as PDEs possam estar envolvidas no efeito relaxante induzido por FGAL em útero isolado de rata, lançou-se mão de um conhecido inibidor das PDEs, a aminofilina (HIRSH et al.,

2004), e observou-se que a aminofilina não promoveu potencialização do efeito relaxante de FGAL (Gráfico 9).

Desta forma, o fato do efeito tocolítico de FGAL não ter sido potencializado pela presença de aminofilina pode indicar que os nucleotídios cíclicos não estão envolvidos no mecanismo de ação tocolítico de FGAL em útero isolado de rata.

Diante dos resultados apresentados aqui podemos concluir que, em nível funcional, o mecanismo de ação para explicar o efeito tocolítico do flavonoide em útero isolada de rata se dá por uma modulção positiva de canais para potássio sensíveis ao ATP (K_{ATP}), canais para potássio sensíveis à voltagem (K_v) e canais para potássio sensíveis ao cálcio (K_{Ca}), especificamente os SK_{Ca} e os BK_{Ca} , que culmina no bloqueio indireto dos canais de cálcio sensíveis à voltagem (Ca_V) diminuindo assim o influxo de Ca^{2+} levando o útero ao relaxamento. Ainda faz-se necessárias futuras investigações para a obtenção de uma visão total do mecanismo de ação pelo qual FGAL exerce seu efeito tocolítico.

Conclusões

6 CONCLUSÕES

No estudo do efeito tocolítico do flavonóide 3,6 dimetil éter (FGAL), isolado das partes aéreas de *Piptadenia stipulaceae* Benth Ducke, visando elucidar o mecanismo de ação em útero isolado de rata, pode-se concluir que:

- a) FGAL não está agindo diretamente em nível de receptor de ocitocina para produzir efeito tocolítico;
- b) FGAL não está bloqueando diretamente sobre os canais de cálcio dependentes de voltagem para produzir efeito tocolítico;
- c) Os nucleotídios cíclicos não estão envolvidos no efeito tocolítico de FGAL;
- d) FGAL modula positivamente os canais para potássio do tipo K_{ATP} , K_V , SK_{Ca} e BK_{Ca} , o que indiretamente reduziria o influxo de Ca^{2+} através dos Ca_V com consequente relaxamento;
- e) Não se podem descartar outras vias de sinalização que ainda não foram investigadas.

Perspectivas

7 PERSPECTIVAS

7.1 Em estudos funcionais:

- 1. Avaliar o grau de participação dos canais de potássio no efeito tocolítico produzido por FGAL através da incubação simultânea de vários bloqueadores desses canais;
- Investigar a participação da PKA e/ou PKC no efeito tocolítico produzido por FGAL por meio de inibidores seletivos dessas enzimas;
- Investigar um possível efeito tocolítico e elucidar o mecanismo de ação de FGAL em ratas grávidas.

7.2 Em estudos celulares e moleculares:

- 1. Avaliar se FGAL interfere com o ciclo celular em miócitos uterinos de rata, através da técnica de citometria de fluxo;
 - 2. Verificar se FGAL interfere com a [Ca²⁺]_c em miócitos uterinos de rata, através de técnicas fluorimétricas;
- 3. Avaliar o efeito de FGAL nas correntes de Ca²⁺ utilizando a configuração "whole-cell" da técnica de *patch-clamp* em miócitos de útero de rata;
- 4. Investigar o efeito de FGAL nas correntes de K⁺, utilizando a configuração "cell-attached" da técnica de *patch-clamp* em miócitos uterinos de rata;
- 5. Realizar todos os procolos tanto em ratas grávidas como em ratas não grávidas para posterior comparação de resultados.

Referências

REFERÊNCIAS

ABDELLATIF, A. A. Calcium mobilizing receptors, polyphospholinositides, generation of second messengers and contraction in mammalian smooth muscle: historical perspectives and current status. **Life Sciences**, v. 45, p. 757-786, 1989.

AGUILAR, H. N. &MICTHELL, B. F.Physiological pathways and molecular mechanisms regulating uterine contractility. **HumanReproduction Update**, v. 16 p. 725-44, 2010.

ALBUQUERQUE, U. P.; ANDRADE, L. H. C. Uso de Recursos Vegetais da Caatinga: O caso do Agreste do Estado de Pernambuco (Nordeste do Brasil). **Revista de Ciência e Tecnologia da América (Interciencia)**, v. 27, n. 007, p. 336-346, 2002.

AL-DABBAS, M. M.; KITAHARA, K.; SUGANUMA, T.; HASHIMOTO, F.; TADERA, K. Antioxidant and α-amylase inhibitory compounds from aerial parts of VarthemiaiphionoidesBoiss.**Bioscience**, **Biotechnology and Biochemistry**, v. 70, n. 9, p. 2178- 2184, 2006.

ALEXANDER, S. P. H.; MATHIE, A.; PETERS, J. A. Guide to Receptors and Channels (GRAC), 2nd edition (2007 Revision). **British Journal of Pharmacology**, v. 150 (Suppl. 1), p. S1 – S168, 2007.

ANWER, K.; OBERTI. C.; PEREZ, G.J.; PEREZ-REYES, N.; McDOUGALL, J.K.; MONGA, M.; SANBORN, B.M.; STEFANI, E.; TORO, L. Calcium-activated K⁺ channels as modulators of human myometrial contractile activity. **American Journal of Physiology**,v. 265, n. 4, p. C976-C985, 1993.

ARTALEJO, C. R.; ADAMS, M. E.; FOX, A. P. Three types of Ca²⁺ channel trigger secretion with different efficacies in chromaffin cells. **Nature**, v. 367, p. 72-76, 1994.

ARUNLAKSHANA, O.; SCHILD, H. O.Some quantitative uses of drug antagonists. **British Journal of Pharmacology**, v. 14, p. 48 - 58, 1959.

BALICK, M.J.; COX, P. A. Plants, People and Culture: the Science of Ethnobotany. Scientific American Library, New York, **Journal of Natural Products.**, 60 (4), p. 428-429, 1997.

BARREIRO, E. J.;BOLZANI, V.S. Biodiversidade: fonte potencial para a descoberta de fármacos. Quimica Nova,v. 32, n. 3, 679-688, 2009.

- BENDER, A. T.; BEAVO, J. A. Cyclic nucleotide phosphodiesterases: molecular regulation to clinical use. **Pharmacological Reviews**, v. 58, n. 3, p. 488-520, 2006.
- BENHAM, C. D.; BOLTON, T. B. Spontaneous transient outward currents in single visceral and vascular smooth muscle cells of the rabbit, **The Journal of Physiology**, v. 381, p. 385–406, 1986.
- BERETZ, A.; CAZENAVE, J.P. The effects of flavonoids on blood-vessel wall interactions. **Progress in clinical and biological research,** p. 187, 2000.
- BERRIDGE, M. J.; LIPP, P.; BOOTMAN, M. D.The versatility and universality of calcium signaling. **Natural Reviews**, v. 1, p. 11-21, 2000.
- BERRIDGE, M. J.; BOOTMAN, M. D.; LIPP, P. Calcium a life and death signal. **Nature**. v. 395, p. 645 648, 1998.
- BERRIDGE, M. J. Elementary and global aspects of calcium signalling. **Journal of Physiology**, v. 499, p. 291 306, 1997.
- BERRIDGE, M. J; DUPONT, G. Spatial and temporal signalling by calcium. **CurrentOpinion inCellBiology**, v. 6, p. 267 274, 1995.
- BEZERRA, D. A. C. Estudo fitoquímicobromatológico e microbiológico de Mimosa tenuiflora (Wild) Poiret e Piptadeniastipulacea (Benth) Ducke. 2008. Dissertação (mestrado). Programa de Pós-Graduação em Zootecnia, Universidade Federal de Campina Grande, Campina Grande.
- BLAUSTEIN, M. P. Sodium/Calcium exchange in cardiac, smooth and skeletal muscles: key to the control of contractility. **Current Topics in Membranes and Transport**, v. 34, p. 289-330, 1989.
- BOLTON, T. B. Mechanism of action of transmitters and other substances on smooth-muscle. **Physiological Reviews**, v. 59, n. 3, p. 606-718, 1979.
- BORTOLETO, C.C.R. Dismenorréia primária, etiopatogenia e terapêutica. **Femina,** v. 23, p. 439-443, 1995.
- BOOTMAN, H.; LIPP, P.; BERRIDGE, M. J.The organization and functions of local Ca²⁺ signals.**Journal of Cell Science**, v. 114, p. 2213 2222, 2001.
- BOYLE, J.P.; TOMASIC, M.; KOTLIKOFF, M.I. Delayed rectifier potassium channels in canine and porcine airway smooth muscle cells. **Journal of Physiology.** 447:329-50; 1992.

- BRAINARD, A. M.; KOROVKINA, V. P.; ENGLAND, S. K. Potassium channels and uterine function. **Seminars inCell&DevelopmentalBiology**, v. 18, n. 3, p. 332–339, 2007.
- CALIXTO, J. B. Efficacy, safety, quality control, marketing and regulatory guidelines for herbal medicines (phytotherapeutic agents). **Brazilian Journal and Biological Research**, 33, p. 179-189, 2000.
- CARAFOLI, E. Calcium signaling: a tale for all seasons. **Proceedings of the National Academy of Sciences U.S.A.** v. 99, p. 1115 1122. 2002.
- CATTERALL, W. A.; PEREZ-REYES, E.; SNUTCH, T. P.; STRIESSNIG, J. International Union of Pharmacology. XLVIII. Nomenclature and structure-function relationships of voltage-gated calcium channels. **Pharmacological Reviews**, v. 57, n. 4, p. 411-425, 2005.
- CATTERALL, W. A. Structure and regulation of voltage-gated Ca²⁺ channels. **Annual Review of Cell & Developmental Biology**, v. 16, p. 521-555, 2000.
- CAVALCANTE, F. A. Investigação dos efeitos citotóxico e espasmolítico do lapachol e de seus derivados naturais e sintéticos: relação estrutura-atividade e mecanismo de ação. 2008. **Tese (Doutorado)**. Centro de Ciências da Saúde, Universidade Federal da Paraíba, Paraíba.
- CAVALCANTE, F. A. Mecanismo de ação espasmolítica de solavetivona, sesquiterpeno isolado das partes aéreas de Solanum jabrense Agra & Nee (SOLANACEAE).2001. **Dissertação (Mestrado em Produtos Naturais e Sintéticos Bioativos)** Laboratório de Tecnologia Farmacêutica, Universidade Federal da Paraíba, João Pessoa, 2001.
- CHIAPPETA, A. D. A; DE MELLO, J. F. Higher Plants with Biological Activity.Plants of Pernambuco. II. III. **Rev. Inst.Antibiot Univ. Fed.Pernambuco**, 11 (1/2). Recife, p. 99-11, 1984.
- CHIEN, E.K.; ZHANG, Y.; FURUTA, H.; HARA, M. Expression of adenosine triphosphate-sensitive potassium channel subunits in female rat reproductive tissues: overlapping distribution of messenger ribonucleic acid for weak inwardly rectifying potassium channel subunit 6.1 and sulfonylureabinding regulatory subunit 2. **American Journal ofObstetrice and Gynecology.** 180:1121–6, 1999.
- CLEEMANN, L.; MORAD, M. Role of Ca²⁺ channel in cardiac excitation contraction coupling in the rat: evidence from Ca²⁺ transients and contraction. **The Journal of Physiology**, v. 432; p. 283-312; 1991.
- CURLEY, M.; CAIRNS, M.T.; FRIEL, A.M.; McMEEL, O.M.; MORRISON, J.J.; SMITH, T.J. Expression of mRNA transcripts for ATP-sensitive potassium

- channels in human myometrium. **Molecular Human Reproduction**,8:941–5, 2002.
- DAVIES, M.P.; McCURRIE, J.R.; WOOD, D. Comparative effects of K⁺ channel modulating agents on contractions of rat intestinal smooth muscle. **European Journal of Pharmacology**, v. 297, n. 3, p. 249-256, 1996.
- DE LA LASTRA, C.A.; MARTÍN, M.J.; LA CASA, C.; MOTILVA, V. Antiulcerogenicity of the flavonoid fraction from *Bidens aurea*: Comparison with ranitidine and omeprazole. **Journal of Ethnoparmacology, v.** 42, n. 3, p. 161-168, 1994.
- DEMIREL, E.; RUSKO, J.; LASKEY, R.E.; ADAMS, D.J.; VAN BREEMEN, C. TEA inhibits ACh-induced EDRF release: endothelial Ca²⁺-dependent K⁺ channels contribute to vascular tone. **The American Journal of Physiology**, v. 267, n. 2, H1135-H1141, 1994.
- DI CARLO, G.; MASCOLO, N.; IZZO, A.A.; CAPASSO, F. Flavonoids: Old and new aspects of a class of natural therapeutic drugs. **<u>Life Sciences</u>**, v. 65, n. 4, p. 337-353, 1999
- DOLMETSCH, R. E.; PAJVANI, U.; FIFE, K.; SPOTTS, J. M.; GREENBERG, M. E. Signaling to the nucleus by an L-type calcium channel-calmodulin complex through the MAP kinase pathway, **Science**, v. 294, p. 333-339, 2001.
- EATON-EVANS, J. Osteoporosis and the role of diet. **British Journal of Biomedical Science**, v. 51, p. 358-370. 1994.
- ELSOHLY, H. N.; EL-FERALY, F. S.; JOSHI, A. S.; WALKER, L. A. Antiviral flavonoids from Alkannaorientalis. **PlantaMedica**. v. 63, n. 4, 384, 1997.
- EMPFIELD, J. R.; RUSSELL, K.; TRAINOR, D. A. Potassium channel openers: therapeutic possibilities. **Pharmaceutical News**, v. 6, p. 23-27, 1995.
- ERTEL, E. A.; CAMPBELL, K. P.; HARPOLD, M. M.;HOFMANN, F.; MORI, Y.; PEREZ-REYES, E.; SCHWARTZ, A.; SNUTCH, T. P.; TANABE, T.; BIRNBAUMER, L.; TSIEN, R. W.; CATTERALL, W. A. Nomenclature of voltage-gated calcium channels. **Neuron**, v. 25, p. 533-535, 2000.
- FABRICANTE, J. R.; ANDRADE, L. A. Análise estrutural de um remanescente de caatinga no Seridó Paraibano. **O ecologia Brasiliensis**, v. 11, p. 341-349, 2007.
- FLISCHER, F.; MONTARI, C. A. Química medicinal: contribuição e perspectiva no desenvolvimento da farmacoterapia. **Química Nova**, São Paulo, v. 18, n. 1, p. 56-64, 1995.

FLORENTINO, A. T. N.; ARAÚJO, E. L.; ALBUQUERQUE, U. P. Contribuição de quintais agroflorestais na conservação de plantas da Caatinga, Município de Caruaru, PE, Brasil. **Acta Botanica Brasílica**, v. 21, p. 37-47, 2007.

FONSECA. Dismenorréia. In: Halbe, H.W., São Paulo editor. **Tratado de Ginecologia**, 3, 748-54, 2000.

FUKATA, Y.; AMANO, M.; KAIBUCHI, K. Rho–Kaibuchi, K-kinase pathway in smooth muscle contraction and cytoskeletal reorganization of non-muscle cells. **Trends in Pharmacological Sciences**, v. 22, p. 32-39, 2001.

GARRETT, R.H.; GRISHAM, C.M. **Biochemistry**. Londres: Saunders College, p. 1100, 1995.

HARVEY, A. Strategies for discovering drugs from previously unexplored natural products. **Drug Discovery Today**, v. 5, p. 294–300, 2000.

HEYWOOD, V. H. In:Flowering Plants of the World. B. T. Batsford Ltd - London, 149-152, 1996.

HILL, C. E.; KIRTON, A.; WU, D. D.; VANNER, S. J. Role of maxi-K⁺ channels in endothelin-induced vasoconstriction of mesenteric and submucosal arterioles. **American Journal of Physiology-Gastrointestinal and Liver Physiology**, v. 36, n. 5, p. G1087-G1093, 1997.

HIRAMATSU, T.; KUME, H.; KOTLIKOFF, M. I.; TAKAGI, K. Role of calcium-activated potassium channels in the relaxation of tracheal smooth muscles by forskolin. **Clinical and Experimental Pharmacology and Physiology**, v. 21, n. 5, p. 367-375, 1994.

HIRSH, L.; DANTES, A.; SUH, B. S.; YOSHIDA, Y.; HOSOKAWA, K.; TAJIMA, K.; KOTSUJI, F.; MERIMSKY, O.; AMSTERDAM, A. Phosphodiesterase inhibitors as anti-cancer drugs. **Biochemical Pharmacology**, v. 68, n. 6, p. 981-988, 2004.

HONDA, K.; TAKANO, Y.; KAMIYA, H. Involvement of protein kinase C in muscarinic agonist-induced contractions of guinea pig ileal longitudinal muscle. **General Pharmacology,** v. 27, n. 6, p. 957-961, 1996.

HONG, J. Role of natural product diversity in chemical biology. **Current Opinion** in **Chemical Biology**. v. 15, p. 1-5, 2011.

HUANG, Y. Hydroxylamine-induced relaxation inhibited by K⁺ channel blockers in rat aortic rings. **European Journal of Pharmacology**, v. 349, n. 1, p. 53-60, 1998.

- HUGHEST, S. J.; HOLLINGSWORTH, M. Relaxin as a Relaxant of the Isolated Rat Uterus: Comparison with Its Mechanism of Action In Vivo **General Pharmacology.** v. 29, n. 5, p. 829-833. 1997.
- ISHII, T. M.; MAYLIE, J.; ADELMAN, J. P. Determinants of apamin and d-tubocurarine block in SK potassium channels. **Journal of Biological Chemistry**, v. 272, p. 23195–23200, 1997.
- IZZO, A.A. PAF and the digestive tract, a review. **J.Pharm. Pharmacol,** v.48, p. 1103-1111, 1996
- JAN L.Y.; JAN Y.N. Structural elements involved in specific K+ channel functions. **Annual Review of Physiology**, 54:537-55; 1992.
- JOHN, J. E. Natural products as lead structures: a role for biotechnology. **Drug Discovery Today.** v. 15, n. 11/12, 2010.
- JOINER, W. J.; WANG, L. Y.; TANG, M. D.; KACZMAREK, L.K. hSK4, a member of a novel subfamily of calcium-activated potassium channels.**Proceedings of the National Academy of Sciences of the United States of America**, v.94, p. 11013–11018, 1997.
- KARAKI, H.; OZAKI, H.; HORI, M.; MITSUI-SAITO, M.; AMANO, K. I.; HARADA, K. I.; MIYAMOTO, S.; NAKAZAWA, H.; WON, K. J.; SATO, K. Calcium movements, distribution, and functions in smooth muscle. **Pharmacological Reviews**, v. 49, n. 2, p. 157-230, 1997.
- KANNAN, M. S.; JOHNSON, D. E. Modulation of nitric oxide-dependent relaxation of pig tracheal smooth muscle by inhibitors of guanylylcyclase and calcium activated potassium channels. **Life Science**, v. 56, n. 25, p. 2229-2238, 1995.
- KNOT, H. T.; BRAYDEN, E. J.; NELSON, M. T. Calcium channels and potassium channels. In BÁRÁNY, M. **Biochemistry of smooth muscle contraction.** San Diego, Academic Press, 203-219, 1996.
- KO, E. A.; HAN, J.; JUNG, I. D.; PARK, W. S. Physiological roles of K⁺ channels in vascular smooth muscle cells. **Journal smooth muscle research**. v. 44, p. 65-81, 2008.
- KOBAYASHI, S.; KITAZAWA, T.; SOMLYO, A. V.; SOMLYO, A. P. Citosolic heparin inhibits muscarinic and α -adrenergic Ca²⁺-release in smooth muscle: physiological role of inositol 1,4,5-trisphosphate in pharmacomechanical coupling. **Journal of Biological Chemistry,** v. 264, p. 17997 18004, 1989.
- KOHLER, M.; HIRSCHBERG, B.; BOND, C. T.; KINZIE, J. M.; MARRION, N. V.; MAYLIE, J.; ADELMAN, J. P. Small-conductance, calcium-activated potassium channels from mammalian brain. **Science**, v. 273, p. 1709–1714, 1996.

- KOMAS, N.; LUGNIER, C.; STOCLET, J-C.Endothelium-dependent and independent relaxation of the rat aorta by cyclic nucleotide phosphodiesterase inhibitors. **Br. J. Pharmacology**. v. 104, p. 495-503, 1991.
- KUME, H.; HALL, I.P.; WASHABAU, R.J.; TAKAGI, K.; KOTLIKOFF, M.I. β-Adrenergic agonists regulate K_{ca} channels in airway muscle by cAMP-dependent and -independent mechanisms. **Journal of Clinical Investigation**, v. 93, n. 1, p. 371-379, 1994.
- LATORRE, R.; OBERHAUSER, A.; LABARCA, P.; ALVAREZ, O. Varieties of calcium-activated potassium channels. **Annual Review of Physiology**, v. 51, p. 385-399, 1989.
- LEACH, D.; STEVENSON, L.; GABRIEL, B.; BEATTIE, K. Biologically active compounds isolated from Centipeda and their biological activity as antioxidant and antiinflammatory agents. **PCT Patent Filing**.p. 49, 2007.
- LEDOUX, J; WERNER, M. E.; BRAYDEN, J. E.; NELSON, M. T. Calcium-activated potassium channels and the regulation of vascular tone. **Physiology** (Bethesda), v. 21, n.1, p. 69-78, 2006.
- LESAGE, F.; LAZDUNSKI, M. Molecular and functional properties of two-pore-domain potassium channels. **American Journal of Physiology.** Renal **Physiology.**, 279 (5). F793-801, 2000.
- LIMA, J. T. Caracterização do envolvimento dos BK_{Ca} no mecanismo de ação espasmolítica de diplotropina em íleo de cobaia e útero de rata e estudo comparativo do seu análogo sintético. 2008. **Tese (Doutorado).** Centro de Ciências da Saúde, Universidade Federal da Paraíba, Paraíba.
- LIMA, J. T. Ação espasmolíticado 3, 4, 5, 8-tetrametoxi-(6, 7, 2", 3")-furanoflavana. Obtida de DiplotropisferrugineaBenth. (FABACEAE), envolve ativação de canais de potássio. 2004. **Dissertação (Mestrado).** Centro de Ciências da Saúde, Universidade Federal da Paraíba, Paraíba.
- LIN, M. T.; HESSINGER, D. A.; PEARCE, W. J.; LONGO, L. D. Modulation of BK channel calcium affinity by differential phosphorylation in developing ovine basilar myocites. **American Journal of Physiol Heart and Circulatory Physiology**, v. 291, n. 2, p. H732-740, 2006.
- LIRA, D. P.; QUEIROZ, A. C.; SOUZA, E. T. AGRA, M. F.; ARAUJO-JUNIOR, J. X.; BARBOSA-FILHO, J. M.; MOREIRA, M. S. A., SANTOS, B. V. O. Flavonóides de Piptadaniastipulaceae(Fabaceae): isolamento e atividade analgésica preliminar. **Congresso da SociedadeBrasileira de Química**, 2009.

- LOPEZ-LOPEZ, J. R.; SHACKLOCK, P. S.; BALKE, C. W.; WIER, W. G. Local calcium transients triggered by single L-type calcium channel currents in cardiac cells. **Science**, v. 268, p. 1042-1045, 1995.
- LUGNIER, C. Cyclic nucleotide phosphodiesterase (PDE) superfamily: a new target for the development of specific therapeutic agents. **Pharmacology & Therapeutics**, v. 109, n. 3, p. 366-398, 2006.
- LUNA, J. S.; SANTOS, A. F.; LIMA, M. R. F.; OMENA, M. C.; MENDONÇA, F. A. C.; BIEBER, L. W.; SANT'ANA, A. E. G. A study of the larvicidal and molluscicidal activities of some medicinal plants from northeast Brazil. **J. Ethnopharmacol**. v. 97, p. 199-206, 2005.
- MACÊDO, C. L., VASCONCELOS, L. H. C., CORREIA, A. C. C., MARTINS, I. R. R., LIRA, D. P., SANTOS, B. V. O., SILVA, B. A. Spasmolytic effect of galetin 3,6 dimethyl- ether flavonoid obtained from Piptadenia stipulacea (BENTH) Ducke. **J. Smooth muscle**, v. 47, n. 5, p. 123- 134, 2011a.
- MACÊDO, C. L., VASCONCELOS, L. H. C., CORREIA, A. C. C., MARTINS, I. R. R., LIRA, D. P., SANTOS, B. V. O., SILVA, B. A. Cyclic nucleotides and PKC participating of effect vasorelaxant of galetin 3,6dimethyl ether. **23rd International Symposium on Pharmaceutical & Biomedical Analysis**, João Pessoa, PB, 2011b
- MACÊDO, C. L., VASCONCELOS, L. H. C., CORREIA, A. C. C., MARTINS, I. R. R., LIRA, D. P., SANTOS, B. V. O., SILVA, B. A. Vasorelaxant effect of galetin on rat aorta involves potassium channels. **International Symposium on CellSignaling**, Florianópolis, Santa Catarina, 2010.
- MACÊDO, C. L. Envolvimento dos canais de potássio na ação espasmolíticado ácido labda-8(17),12E,14-trien-18-óico (labdano-302) isolado de Xylopialangsdorfiana A. St.-Hil. &Tul. Em íleo isolado de cobaia. 2008. **Dissertação (Mestrado)**. Centro de Ciências da Saúde, Universidade Federal da Paraíba, Paraíba.
- MACANDER, P.J. Flavonoids affect acetylcholine, prostaglandin E2 and antigenmediated smooth muscle contraction. **Prog. Clin. Biol. Res**. 213, p. 489-492. 1986
- MASCOLO, N., PINTO, A., CAPASSO. F. Flavonoids, leukocyte migration and eicosanoids. **The Journal of Pharmacy and Pharmacology**, v. 40, p. 293–295. 1988.
- McFADZEAN, I.; GIBSON, A. The developing relationship between receptoroperated and store-operated calcium channels in smooth muscle. **The British Journal of Pharmacology,** v. 135, p. 1-13, 2002.

- MEERA, P.; ANWER, K.; MONGA, M.; OBERTI, C.; STEFANI, E.; TORO, L.; SAMBOR, B.M. Relaxin stimulates myometrial calcium-activated potassium channel activity via protein kinase A. **American Journal of Physiology-Cell Physiology**, v. 38, n. 2, p. C312-C317, 1995.
- MELO, A. C., COTA, B. B., OLIVEIRA, A. B., BRAGA, F. C. HPLC Quantitation of Kaurane Diterpene in Xylopia Species. **Fitoterapia**, 72, p. 40. 2001.
- MISHRA, S. K.; AARONSON, P. I. A role for a glibenclamide-sensitive, relatively ATP-insensitive K⁺ current in regulating membrane potential and current in rat aorta. **Cardiovascular Research**, v. 44, n. 2, p. 429-435, 1999.
- MORGAN, J. P.; MORGAN, K. G. Vascular smooth muscle: the first recorded Ca²⁺ transients. **PflügersArchiv European Journal of Physiology,** v. 395, p. 75–77, 1982.
- MORIKAWA, T.; ABDEL-HALIM, O. B.; MATSUDA, H.; ANDO, S.; MURAOKA, O.; YOSHIKAWA, M. Pseudoguaiane-type sesquiterpenes and inhibitors on nitric oxide production from Dichrocephalaintegrifolia. **Tetrahedron**. v. 62, n. 26, p. 6435-6442, 2006.
- MOTTA, E. V., 2000. Dismenorréia Como diagnosticar e tratar. **RevBrasMed**, p.57, n. 5, 2007.
- MURRAY M. A.; BERRY J. L.; COOK S. J.; FOSTER R. W.; GREEN K. A.; SMALL R. C. Guinea-pig isolated trachealis: the effects of charybdotoxin on mechanical activity, membrane potential changes and the activity of plasmalemmal K(+)-channels. **British Journal of Pharmacology**, v. 103, p. 1814-1818, 1991.
- NEERING, I. R.; MORGAN, K. G. Use of aequorin to study excitation-contraction coupling in mammalian smooth muscle. **Nature**, v. 288, p. 585–587, 1980.
- NEUBIG, R. R.; SPEDDING, M.; KENAKIN, T.; CHRISTOPOULOS, A. International Union of Pharmacology Committee on Receptor Nomenclature and Drug Classification. XXXVIII. Update on Terms and Symbols in Quantitative Pharmacology. **Pharmacological Reviews**, n. 55, p. 597–606, 2003.
- NEWMAN, D.J.; CRAGG, G. M.; SNADER, K. M. Natural products as sources of new drugs over the period 1981 2002. **Journal of Natural Products**, v.66, p. 1022–1037, 2003.
- OLIVEIRA, A. P.; FURTADO, F. F.; ALMEIDA, F. R. C.; MEDEIROS, I. A. Involvement of calcium actived large cundutance potassium channel BK_{ca} in vasorelaxant effect of labdane-302. In: XXXVI Congresso brasileiro de farmacologia, 2004, Águas de lindóia-SP. XXXV **Congresso Brasileiro de Farmacologia**. São paulo-SP: SBFTE, 2004. v. UNICO. p. 268-269.

- PAULSON, O.B.; NEWMAN, E.A. Does the release of potassium from astrocyte endfeet regulate cerebral blood flow? **Science**. 237(4817):896-8; 1987.
- PAN, Z.; MA, J. Retrograde activation of store-operated calcium channel.**Cell Calcium**. v. 33, p. 375 384, 2003.
- PEREZ, G. J.; BONEV, A. D.; PATLAK, J. B.; NELSON, M. T. Functional coupling of ryanodine receptors to K_{Ca} channels in smooth muscle cells from rat cerebral arteries, **The Journal of General Physiology**, v. 113, p. 229–238, 1999.
- PEREZ-VIZCAINO, F.; DUARTE, J. Flavonols and cardiovascular disease. **Molecular aspects of medicine**. v. 31, p. 473-494, 2010.
- PUPO, M.T.; GALLO, M. B. C. Biologia Química: uma estratégia moderna para a pesquisa em produtos naturais. **Química Nova**, v. 30, n. 6, p. 1446-1455, 2007.
- QUEIROZ, A. C.; LIRA, D. P.; DIAS, T. L. M. F.; SOUZA, E. T.; M, C. B. B.; AQUINO, A. B.; SILVA, L. H. A C; SILVA, D. J. C.; MELLA, E. A. C.; AGRA, M. F.; FILHO, J. M. B.; ARAÚJO-JÚNIOR, J. X.; SANTOS, B. V. O.; ALEXANDRE-MOREIRA, M. S. The antinociceptive and anti-inflammatory activities of Piptadenia stipulacea Benth. (Fabaceae). **Journal of Ethnopharmacology**, v. 128, p. 377-383, 2010.
- QUEST, U.; COOK, N. S. Moving together: K⁺-channel openers and ATP-sensitive K⁺-channels. **Trends in Pharmacological Sciences**, v. 10, p. 431-435, 1989.
- QUEST, U. Potassium channel openers: pharmacological and clinical aspects. **Fundamentals in Clinical Pharmacology**, v. 6, p. 279-293,1992.
- REMBOLD, C. M. Electromechanical and pharmacomechanical coupling. In: Bárány; M. **Biochemistry of Smooth Muscle Contraction**. San Diego, Academic Press, p. 227 –239, 1996.
- REVUELTA, M. P.; CANTABRANA, B.; HIDALGO, A. Despolarization-dependent effect of flavonoids in rat uterine smooth muscle contraction elicited by CaCl₂.**Gen. Pharmac**. v. 29, n. 5, p. 847-857, 1997.
- REVUELTA, M. P.; CANTABRANA, B.; HIDALGO, A. Mechanisms involved in kaempferol-induced relaxation in rat uterine smooth muscle. **Life Sciences**, v. 67, p. 251–259, 2000.
- RIBEIRO, L. A. A.Estudo do efeito relaxante do ácido 8(17),12E,14-labdatrieno-18-óico (labdano-302): um novo diterpeno ativador da via da ciclase de adenilil? 2007. **Tese (Doutorado)**. Centro de Ciências da Saúde, Universidade Federal da Paraíba, Paraíba.

RIBEIRO, L. A. A.; TAVARES, J. F.; ANDRADE, N. C.; SILVA, M. S.; SILVA, Bagnólia Araújo da . O Ácido (8)17,12E,14-labdatrieno-18-óico (labdano302), diterpeno tipo labdano isolado de Xylopialangsdorffiana St. Hil. &Tul. (Annonaceae) relaxa a traquéia isolada de cobaia. Revista Brasileira de Farmacognosia, v. 17, p. 197-203, 2007a.

ROSENBLOOM, R. A. Flavonoid compositions for the treatment of skin disorders. **Patent Application Publication**, p. 11, 2003.

ROSENBLOOM, R. A. Methods using antioxidant flavonoid compounds for the treatment of peripheral neural and vascular ailments. **Patent Application**, p. 11, 2004.

ROSENBLOOM, R. A. Compositions and methods for the treatment of leukemia. **Patent Application Publication**, p. 10, 2006.

RUSSO, A.; ACQUAVIVA, R.; CAMPISI, A.; SORRENTI, V.; DI GIACOMO, C.; VIRGATA, G.; BARCELLONA, M. L.; VANELLA, A. Bioflavonoids as antiradicals, antioxidants and DNA cleavage protectors. **Cell Biol. Toxicol**. v. 16, p. 91-98, 2000.

SAH, P.; FABER, E. S. Channels underlying neuronal calcium-activated potassium currents. **Progress inNeurobiology**, v. 66, p. 345–353, 2002.

SAMUELSSON, G. Drugs of Natural Origin: a Textbook of Pharmacognosy, 5th **Swedish Pharmaceutical Press**, Stockholm, 2004.

SANBORN, B. M. Relationship of Ion Channel Activity to Control of Myometrial Calcium. **Journal of the Society for Gynecologic Investigation**, v. 7, p. 4–11, 2000.

SANDERS, K. M. Mechanisms of calcium handling in smooth muscles. **Journal of Applied Physiology**, v. 91, p. 1438-1449, 2001.

SANTOS, R. F. Ação espasmolítica de retusin, flavonóide isolado de SolanumpaludosumMoric., e de seu derivado metilado em íleo isolado de cobaia. 2007. Dissertação (Mestrado). Programa de Pós-Graduação em Produtos Naturais e Sintéticos Bioativos. Universidade Federal da Paraíba, João Pessoa.

SATO, Y.; AKAO, T.; HE, J-X.; NOJIMA, H.; KURAISHI, Y.; MOROTA, T. ASANO, T.; TANI, T. Glycycoumarin from Glycyrrhyzae Radix acts as a potent astispasmodic through inhibition of phosphodiesterase 3. **Journal of Ethnopharmacology**, v. 105, p. 409-414, 2006.

- SCHREIBER, M.; WEI, A.; YUAN, A.; GAUT, J.; SAITO, M.; SALKOFF, L. Slo3, a novel pH-sensitive K⁺ channel from mammalian spermatocytes. **Journal ofBiologycalChemestry**, v. 273, p.3509–3516, 1998.
- SCHUSTER, S.; MARHL, M.; HÖFER, T. Modelling of simple and complex calcium oscillations. **European Journal ofBiochemestry**, v. 269, p. 1333 1355, 2002.
- SHIKADA, K.; TANAKA, S. K⁺ channel openers produce epithelium-dependent relaxation of the guinea-ping trachea.**European Journal of Pharmacology**, v. 282, n. 1-3, p. 193-197, 1995.
- SHMIGOL, A., EISNER, D. A. & WRAY, S. Properties of voltage-activated [Ca2+]i transients in single smooth muscle cells isolated from pregnant rat uterus. **Journal of Physiology**, 511,803–81.1998
- SILVA, B. A.; NOUAILHETAS, V. L. A.; ABOULAFIA, J. Desensitization to ANG II in guinea-pig ileum depends on membrane repolarization: role of maxi-K⁺ channel. **American Journal of Physiology-Cell Physiology**, v. 277, n. 4, p. C739-C745, 1999.
- SILVA, E. G.; OKUYAMA, P.; PAIVA, T. B. Role of Ca²⁺-dependent K⁺ channels in the membrane potential and contractility of uterus from spontaneously hypertensive rats. **Pathophysiology**, v. 3, n. 4, p. 259-265, 1996.
- SILVA, E. G.; FREDIANI-NETO, E.; FERREIRA, A.T.; PAIVA, A.C.M.; PAIVA, T.B. Role of Ca²⁺-dependent K-channel in the membrane potential and contractility of aorta from spontaneously hypertension rats. **British Journal of Pharmacology**, v. 113, n. 3, p. 1022-1028, 1994.
- SINGER, J. J.; WALSH Jr., J. V. Characterization of calcium-activated potassium channels in single smooth muscle cells using the patch-clamp technique, **PflugersArchiv European Journal of Physiology**, v. 408, p. 98-111, 1987.
- SIXEL, P. J.; PECINALLI, N. R. Características farmacológicas gerais das plantas medicinais. **Infarma**, v.16, nº 13-14, 2005.
- SOICKE, H.; LENG-PESCHLOW, E. Characterization of flavonoids from Baccharis trimera and their anti-hepatotoxic properties. **Planta Med.**, v.53, n.1, p.37-39, 1987.
- SOMLYO, A. P.; SOMLYO, A. V. Ca²⁺ sensitivity of smooth muscle and nonmuscle myosin II: modulated by G proteins, kinases, and myosin phosphatase. **Physiology Reviews,** v. 83, p. 1325-1358, 2003.
- SOMLYO, A. V.; SOMLYO, A. P. Electromechanical and pharmacomechanical coupling in vascular smooth muscle. **The Journal of Pharmacology and Experimental Therapeutics**, v. 159 p. 129–145, 1968.

- STANDEN, N. B.; QUAYLE, J. M.; DAVIES, N. W.; BRAYDEN, J. E.; HUANG, Y.; NELSON, M. T. Hiperpolarizing vasodilators activate ATP-sensitive K⁺ channels in arterial smooth muscle. **Science**, v. 245, p. 177-180, 1989.
- STANDEN NB. Properties of cloned K_{ATP} channels mimic those of β -cells. **Journal of Physiology**.498:1; 1997.
- STEVENS, P. F. Angiosperm Phylogeny Website, 2001. Disponívelem: http://www. Mobot.org. Acessoem: 25 novembro de 2005.
- SUN, Y. -D. & BENISHIN, C. G. K⁺ channel openers relax longitudinal muscle of guinea-pig ileum.**European Journal of Pharmacology**, v.271, p. 453-459, 1994.
- TERAMOTO, N.; NAKASHIMA, T.; ITO, Y. Properties and pharmacological modification of ATP-sensitive K^+ channels in cat thachealmyocytes. **British Journal of Pharmacology**, v. 130, n. 3, p. 625-635, 2000.
- TERAMOTO, N.; BRADING, A. F.; ITO, Y. Glibenclamide-sensitive K⁺ channels underlying leveromakalim-induced relaxation in pig urethra.**European Journal of Pharmacology**, v. 365, n. 2-3, p. 291-300, 1999.
- THORNELOE, K. S.; NELSON, M. T. Ion channels in smooth muscle: regulators of intracellular calcium and contractility. **Canadian Journal of Physiology and Pharmacology,** v. 83, p. 215–242, 2005.
- TRAVASSOS, R. A.; MACEDO, C. L.; CORREIA, A. C. C.; PESSÔA, H. L. F.; TAVARES, J. F.; SILVA, M, S; SILVA, B. A. Involvement of K⁺ channels on tocolytic effect and investigation of hemolytic activity of labdane-302. In: **41º Congresso Brasileiro de Farmacologia e Terapêutica Experimental**, Ribeirão Preto SP. 2009.
- TSAI, M. L.; CUMMINGS, K. C.; WEBB, R. C.; CARUSO, R. L. Acute Inhibition of Spontaneous Uterine Contractions by an Estrogenic Polychlorinated Biphenyl Is Associated with Disruption of Gap Junctional Communication **Toxicology and Applied Pharmacology**, v. 152, p.18–29. 1998.
- TULP, M.; BOHLIN, L. Unconventional natural sources for future drug discovery. **Drug discovery today**, v. 9, n. 10, p. 450-458, 2004.
- URUNO, T.; TAKAYANAGI, I.; KUBOTA, K.; TAKAGI, K. Comparison of actions of papaverine, aspaminol and isoprenaline on isolated rat uterus. **Japanese Journal of Phamacology.** 24, 219-226, 1974.
- UYAMA, Y.; IMAIZUMI, Y.; WATANABE, M. Cyclopiazonic acid, an inhibitor of Ca²⁺-ATPase in sarcoplasmic reticulum, increases excitability in ileal smooth muscle. **British Journal of Pharmacology**, v. 110, n. 2, p. 565-572, 1993.
- VAN BREEMEN, C.; AARONSON, P.; LOUTZENHISER, R. Sodium-Calcium interaction in mammalian smooth muscle. **Pharmacology Reviews,** v. 30, p.167-208, 1979.

- VAN BREEMEN, C.; SAIDA, K. Cellular mechanisms regulating [Ca²⁺]_I smooth muscle. **Annual Review of Physiology**, v. 51, p. 315 329, 1989.
- VAN ROSSUM, J. M. Cumulative dose-response curves. **Archives Internationales de Pharmacodynamie et de Therapie.** v. 143, p. 299-330, 1963.
- VIEGAS-JÚNIOR, C.; BOLZANI, V. S.; BARREIRO, E. J. Os Produtos Naturais e a Química Medicinal Moderna. **Química Nova,** v. 29, n. 2, p. 326-337, 2006.
- VASCONCELOS, L. H. C., MACÊDO, C. L., SILVA, P. C. B., CORREIA, A. C. C., MARTINS, I. R. R., LIRA, D. P., SANTOS, B. V. O., SILVA, B. A. Involvement of potassium channels in spasmolytic effect of galetin 3,6- dimethyl ether on guineapig trachea. **26 Reunião Annual de Federação de Sociedades de Biologia Experimental**, Rio de Janeiro, RJ, 2011.
- WADE, G. R.; SIMS, S. M. Muscarinic stimulation of tracheal smooth muscle cell activates large-conductance Ca²⁺-dependent K⁺ channel. **American Journal of Physiology**, v. 265, n. 3, p. C658-C665, 1993.
- WATTERSON, K. R.; RATZ, P. H.; SPIEGEL, S.The role of sphingosine-1-phosphate in smooth muscle contraction. **Cellular Signalling**, v. 17, p. 289-298, 2005.
- WEBB, R. C. Smooth muscle contraction and relaxation. **Advances in Physiology Education**, v. 27, p.201-206, 2003.
- WEI, A. D.; GUTMAN, G. A.; ALDRICH, R.; CHANDY, K. G.; GRISSMER, S.; WULFF, H. International Union of Pharmacology. LII. Nomenclature and molecular relationships of calcium-activated potassium channels. **Pharmacology Reviews**, v. 57, p. 463–472, 2005.
- WESTON, A. H.; EDWARDS, G. Recent progress in potassium channel opener pharmacology. **Biochemical Pharmacology**, v. 43, n. 1, p. 47-54, 1992.
- WOLLENWEBER, E. "Flavones and flavonols." In: Harborne, J. B. **The Flavonoids Advances in Research Since**,1986, Chapman and Hall Ed., Londres, 1994.
- WRAY, S.; BURDYGA, T.; NOBLE, K. Calcium signalling in smooth muscle. **Cell Calcium**, v. 38, p. 397-407, 2005.
- WRAY, S.; KUPITTAYANANT, S.; SHMIGOL, A.; SMITH, R. D.; BURDYGA, T. V. The physiological basis of uterine contractility: a short review. **Experimental Physiology**, v. 86, p. 239–246, 2001.

- WRAY, S. Uterine contraction and physiological mechanisms of modulation. **American Journal of Physiology**, v. 264, p. C1-C18, 1993.
- XIA, X.M.; FAKLER, B.; RIVARD, A.; WAYMAN, G.; JOHNSON-PAIS, T.; KEEN, J.E. Mechanism of calcium gating in small-conductance calcium-activated potassium channels. **Nature**, 395:503–7, 1998.
- YAMAKAGE, M.; HIRSHMAN, C.A.; CROXTON, T.L. Sodium nitroprusside stimulates Ca²⁺-activated K⁺ channels in porcine tracheal smooth muscle cells. **American Journal of Physiology-Lung Cellular and Molecular Physiology**, v. 14, n. 3, p. L338-L345, 1996.
- YUAN, A.; SANTI, C. M.; WEI, A.; WANG, Z. W.; POLLAK, K.; NONET, M.; KACZMAREK. L.; CROWDER, C. M.; SALKOFF, L. The sodium-activated potassium channel is encoded by a member of the Slo gene family. **Neuron,** v. 37, p. 765–773, 2003.

<u>Anexos</u>

ANEXO A - Certidão do Comitê de Ética em Pesquisa Animal - CEPA № 0303/11



COMITÊ DE ÉTICA EM PESQUISA ANIMAL

CERTIDÃO

João Pessoa, 20 de maio de 2011

CEPA Nº. 0303/11

Ilmo(a). Sr(a).

Pesquisador(a): Bagnólia Araújo da Silva Orientando(a): Juliana da Nóbrega Carreiro

Departamento/Setor: LTF

Ref.: Investigação do efeito espasmolítico de galetina, isolada de Piptadenia stipulaceae Benth (Fabaceae), em íleo de cobaia e útero de rata.

O Comitê de Ética em Pesquisa Animal do Laboratório de Tecnologia Farmacêutica da Universidade Federal da Paraíba, em reunião, ANALISOU e APROVOU a execução do projeto acima.

Número de animais: 42 ratas e 42 cobaias Período: Maio 2011a Dezembro/2011.

Atenciosamente,

anara

Prof^a. Dra. Sandra Rodrigues Mascarenhas

Presidente do Comitê de Ética em Pesquisa Animal do LTF/UFPB

